

Nove fizičkohemiske metode

Metode ispitivanja dinamike složenih reakcionih sistema

Ljiljana Kolar-Anić i Željko Čupić

Sadržaj

I predavanje (Ljiljana Kolar-Anić)

1. Složeni reakcioni sistemi

(Linearni i nelinearni reakcioni sistemi, Nelinearni reakcioni sistemi sa povratnom spregom)

2. Dinamičke strukture složenih reakcionih sistema i samoorganizacija neravnotežnih sistema

3. Modeliranje složenih reakcionih sistema

II predavanje (Željko Čupić)

Metode ispitivanja dinamike složenih reakcionih sistema

Ljiljana Kolar-Anić i Željko Čupić

Sadržaj

I predavanje (Ljiljana Kolar-Anić)

1. Složeni reakcioni sistemi

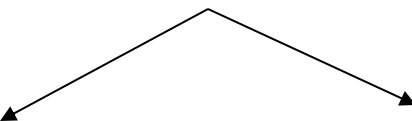
(Linearni i nelinearni reakcioni sistemi, Nelinearni reakcioni sistemi sa povratnom spregom)

2. Dinamičke strukture složenih reakcionih sistema i samoorganizacija neravnotežnih sistema

3. Modeliranje složenih reakcionih sistema

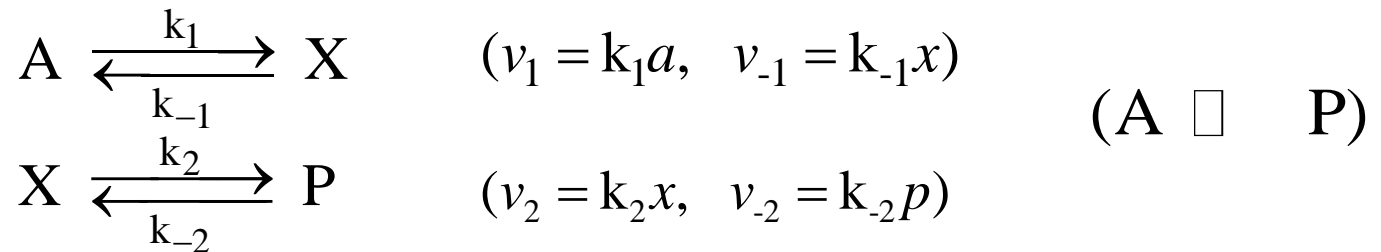
II predavanje (Željko Čupić)

Svi reakcioni sistemi,
pa i složeni reakcioni sistemi dele se na



Linearne i Nelinearne

Linearni reakcioni sistemi



a) **Ravnotežno stacionarno stanje, $t \rightarrow \infty$, $v_1 = v_{-1}$ i $v_2 = v_{-2}$**

$$x_{eq} = \frac{k_1}{k_{-1}} a_{eq} = \frac{k_{-2}}{k_2} p_{eq} \quad \Rightarrow \quad \frac{k_1 k_2}{k_{-1} k_{-2}} = \frac{p_{eq}}{a_{eq}}$$

b) **Neravnotežna stacionarna stanja, $0 < t < \infty$**

$$\frac{dx}{dt} = k_1 a + k_{-2} p - (k_{-1} + k_2) x$$

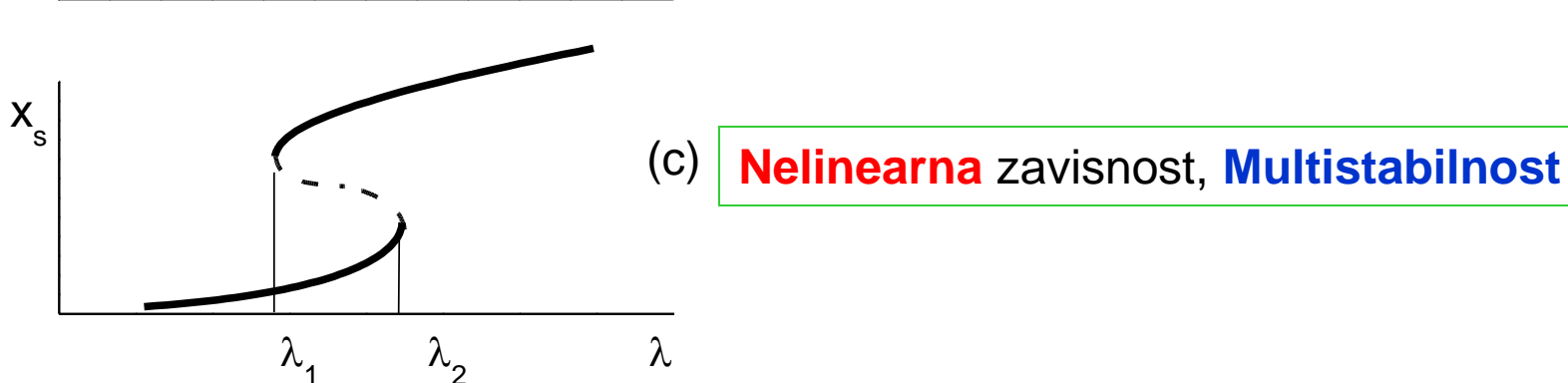
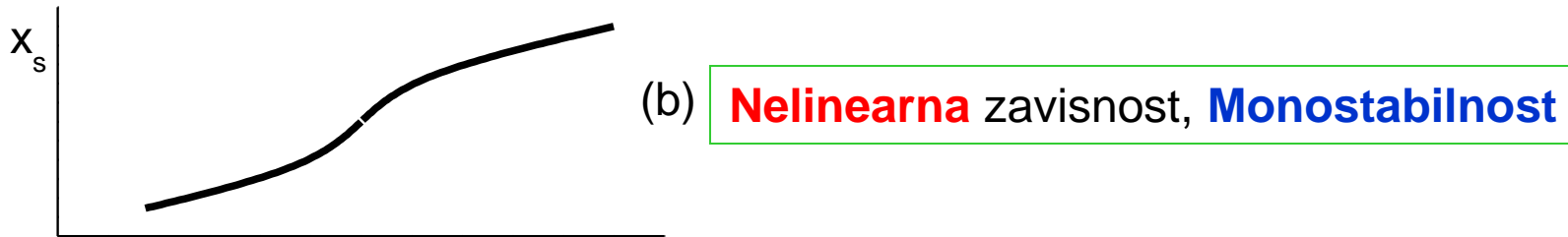
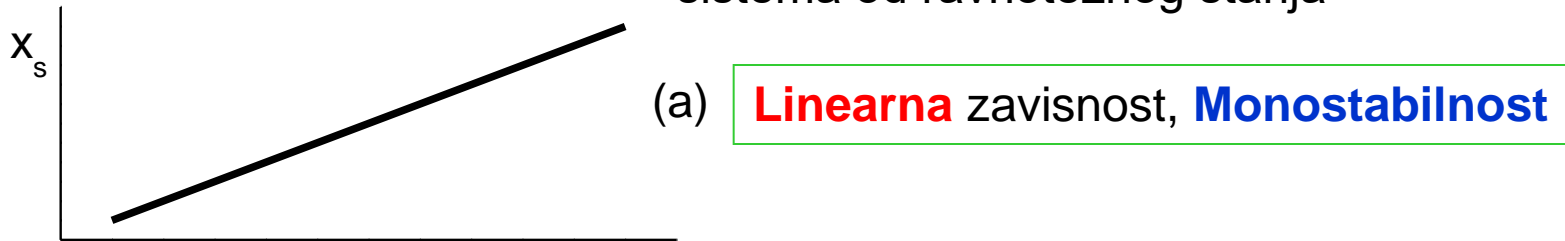
$$\frac{dx}{dt} = \lambda - k x \quad \Rightarrow \quad \lambda - k x_s = 0, \quad x_s = \frac{\lambda}{k}$$

Linearni i nelinearni reakcioni sistemi

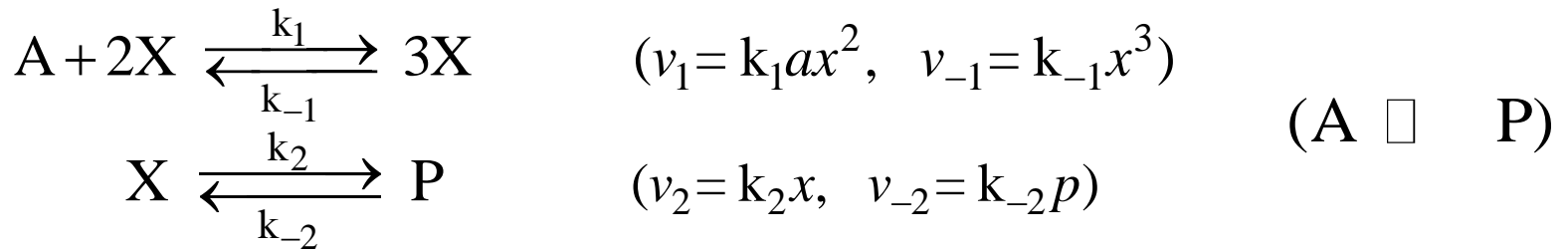
x_s = funkcija stanja (steady state concentration of x)

$$x_s = f(\lambda)$$

λ = kontrolni parametar koji označava udaljenost sistema od ravnotežnog stanja



Nelinearni reakcioni sistemi



a) Ravnotežno stacionarno stanje, $t \rightarrow \infty$, $v_1 = v_{-1}$ i $v_2 = v_{-2}$

$$x_{\text{eq}} = \frac{k_1}{k_{-1}} a_{\text{eq}} = \frac{k_{-2}}{k_2} p_{\text{eq}} \quad \Rightarrow \quad \frac{k_1 k_2}{k_{-1} k_{-2}} = \frac{p_{\text{eq}}}{a_{\text{eq}}}$$

b) Neravnotežna stacionarna stanja, $0 < t < \infty$

$$\frac{dx}{dt} = k_1 ax^2 - k_{-1} x^3 - k_2 x + k_{-2} p$$

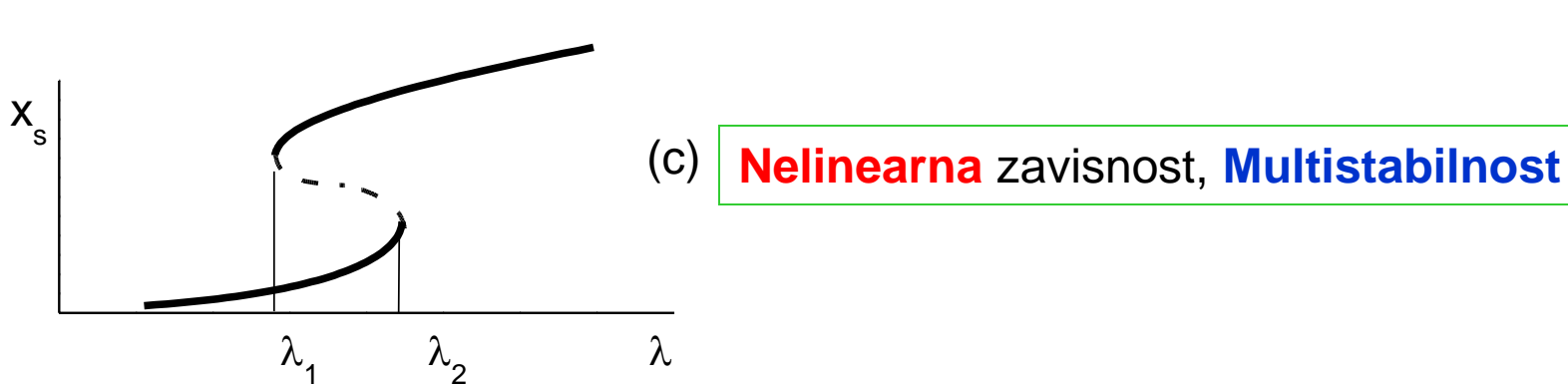
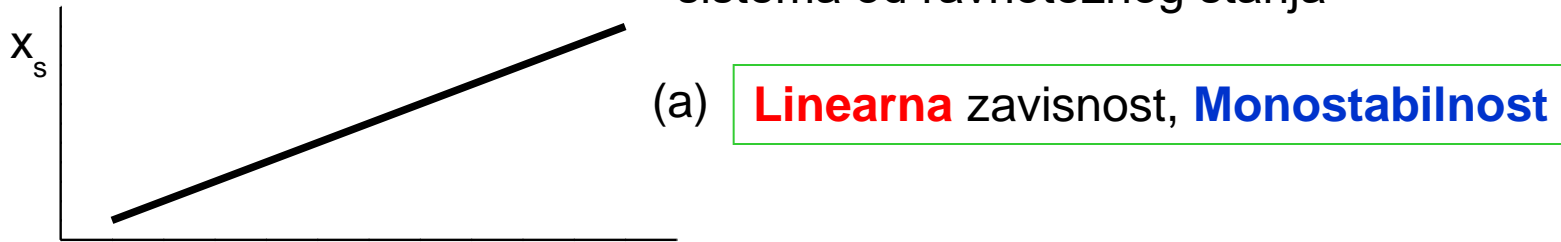
$$\frac{dx}{dt} = -x^3 + \mu x + \lambda \quad \Rightarrow \quad x_s^3 - \mu x_s - \lambda = 0$$

Linearni i nelinearni reakcioni sistemi

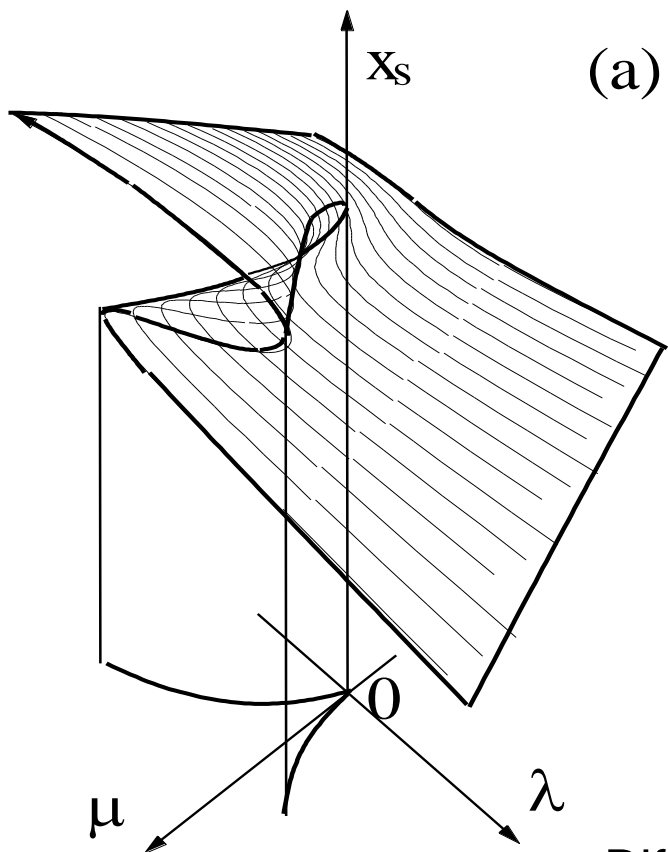
x_s = funkcija stanja (steady state concentration of x)

$$x_s = f(\lambda)$$

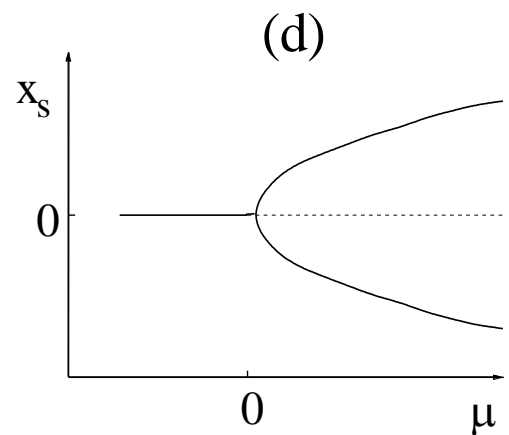
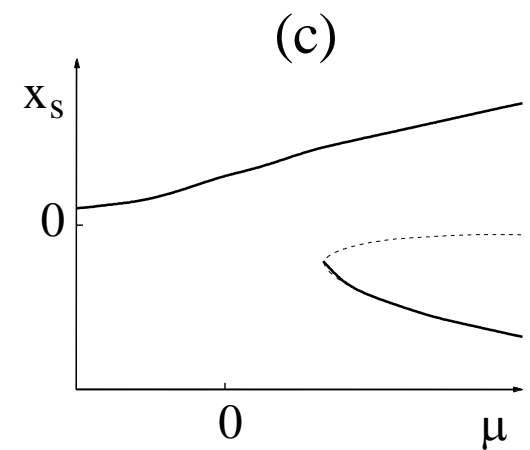
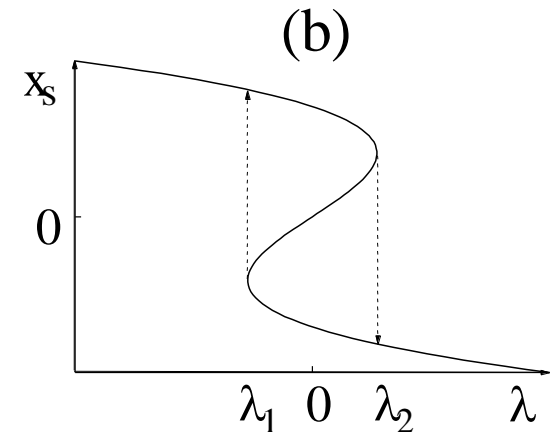
λ = kontrolni parametar koji označava udaljenost sistema od ravnotežnog stanja



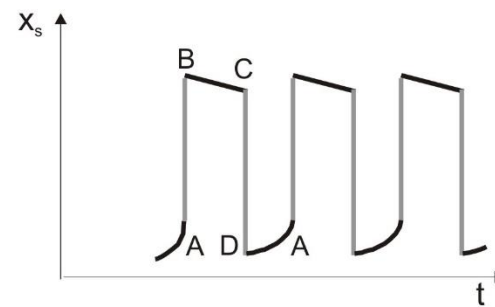
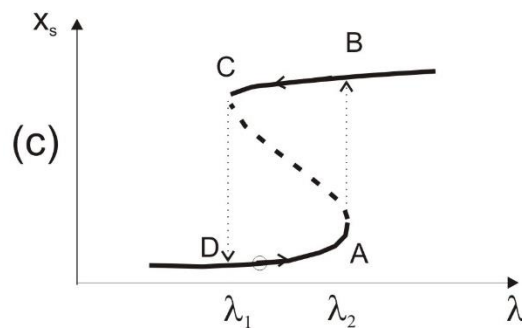
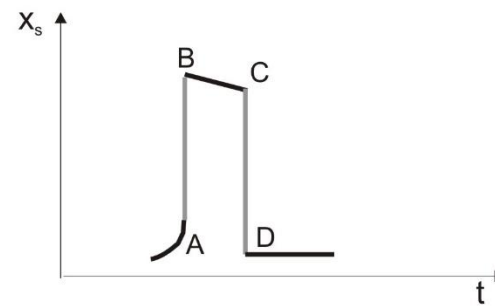
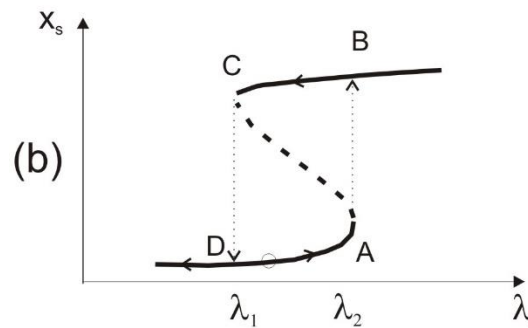
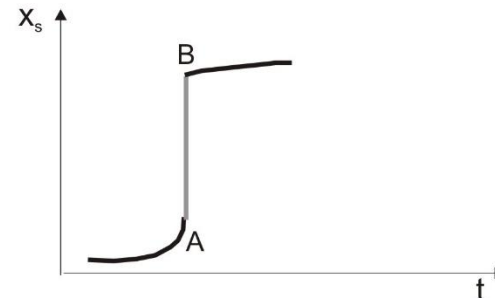
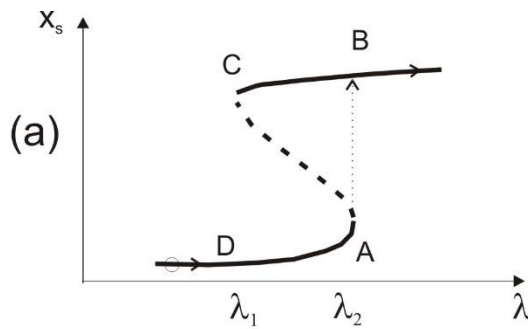
- (a) Uticaj parametara sistema μ i λ na neravnotežna stacionarna stanja intermedijera x_s ;
 (b) Presek u $x_s - \lambda$ ravni kada je $\mu = \text{const.} > 0$.
 (c) Presek u $x_s - \mu$ ravni kada je $\lambda = \text{const.} < 0$.
 (d) Presek u $x_s - \mu$ ravni kada je $\lambda = 0$.



Bifurkacioni dijagrami

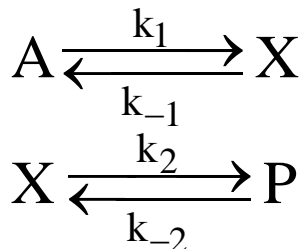


Fazni prostor i vremenska evolucija oscilatornog sistema

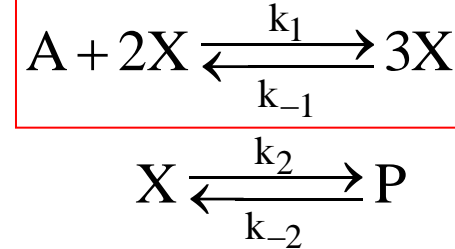


Linearni i nelinearni reakcioni sistemi i povratna sprega (feedback)

Linearni



Nelinearni



Sumarna reakcija u oba slučaja: $A = P$

Ravnotežno stacionarno stanje:

$$\frac{k_1 k_2}{k_{-1} k_{-2}} = \frac{p_{eq}}{a_{eq}}$$

$$\frac{k_1 k_2}{k_{-1} k_{-2}} = \frac{p_{eq}}{a_{eq}}$$

Neravnotežna stacionarna stanja:

$$\begin{aligned} dx/dt &= k_1 a + k_{-2} p - (k_{-1} + k_2)x \\ &= \lambda - kx \end{aligned}$$

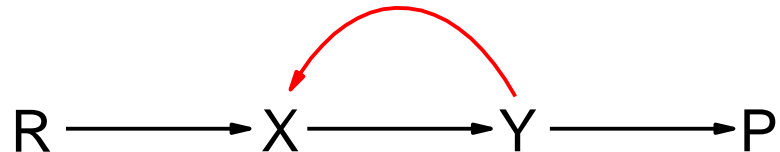
$$x_s = \frac{\lambda}{k}$$

$$\begin{aligned} dx/dt &= k_1 a x^2 - k_{-1} x^3 - k_2 x + k_{-2} p \\ &= -x^3 + \mu x + \lambda \end{aligned}$$

$$x_s^3 - \mu x_s - \lambda = 0$$

Povratna sprega

je opšti naziv za fenomen u kome produkt nekog procesa utiče na brzinu svoga nastajanja u pozitivnom ili negativnom smislu



Primeri direktnе povratne sprege u hemijskim reakcijama:



Povratna sprega je prisutna skoro svuda; tako i u
nekim hemijskim sistemima,
uglavnom svim biohemijskim sistemima, i u
svim društvenim sistemima.

Dinamičke strukture složenih reakcionih sistema

Sistemi izvedeni iz ravnoteže se mogu samoorganizovati na načine nesvojstvene polaznom stanju. “Tako se pokazuje da neravnoteža može postati izvor reda i da nepovratni procesi mogu voditi novom tipu dinamičkih stanja materije koji se nazivaju *disipativne strukture*”*

*Citat iz predavanja: Ilya Prigogine, *Time, Structure and Fluctuations*, Nobel Lecture in chemistry, 1977.

Dinamičke strukture složenih reakcionih sistema možemo podeliti na:

1. Vremenske
2. Vremensko-prostorne

Metode ispitivanja dinamike složenih reakcionih sistema

Ljiljana Kolar-Anić i Željko Čupić

Sadržaj

I predavanje (Ljiljana Kolar-Anić)

1. Složeni reakcioni sistemi

(Linearni i nelinearni reakcioni sistemi, Nelinearni reakcioni sistemi sa povratnom spregom)

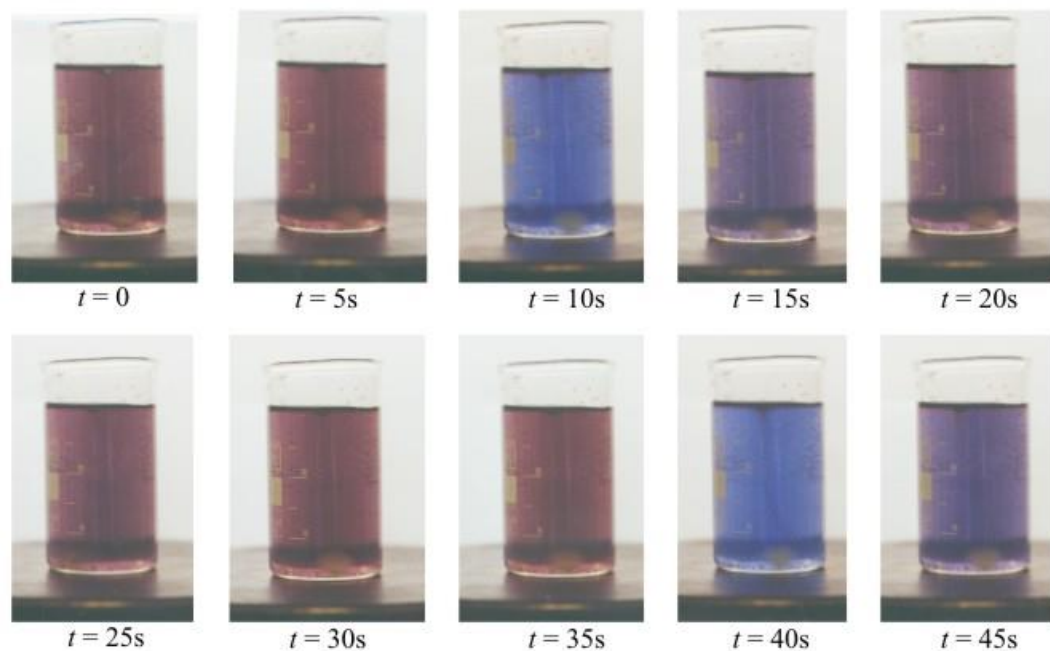
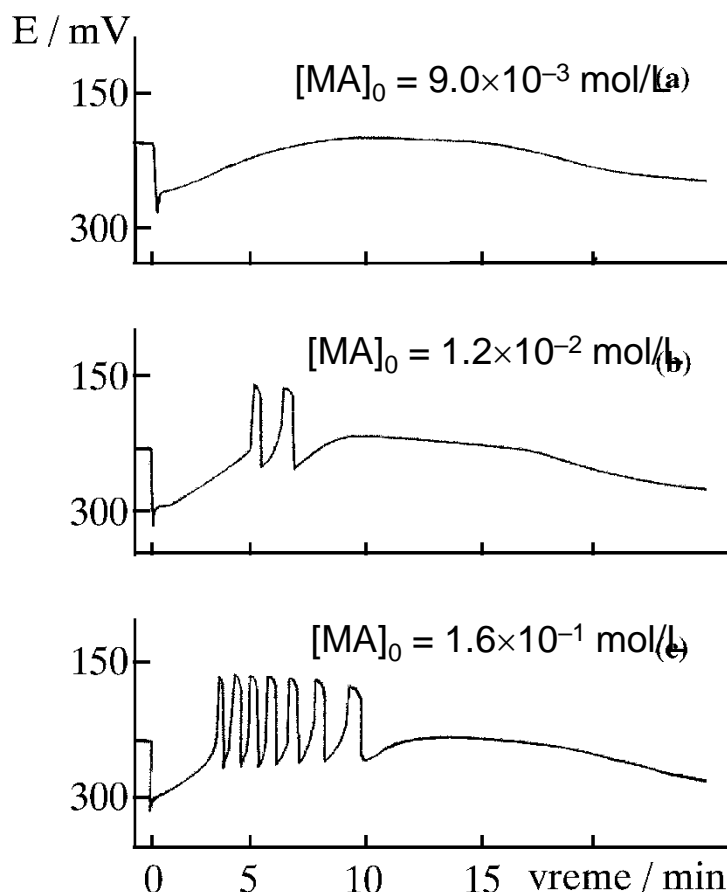
2. Dinamičke strukture složenih reakcionih sistema i samoorganizacija neravnotežnih sistema

3. Modeliranje složenih reakcionih sistema

II predavanje (Željko Čupić)

U hemiji i fizičkoj hemiji

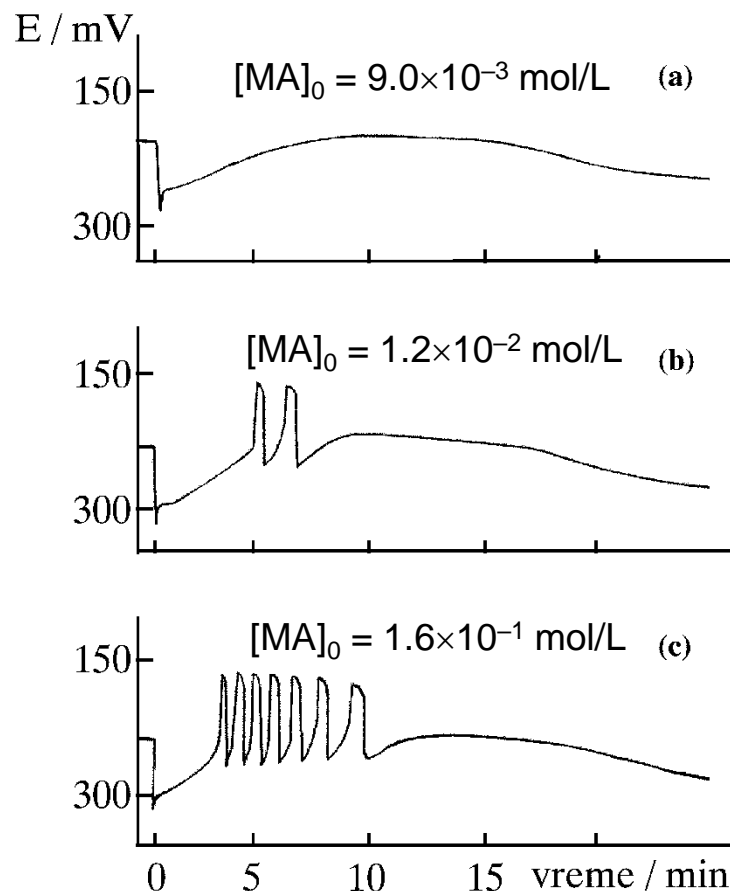
1. Razlaganje malonske kiseline katalizovano bromatnim i metalnim jonica (Belousov-Zhabotinsky oscilatorna reakcija)



Fotografije reakcionog rastvora BŽ osculatora sa feroinom u različitim trenucima evolucije. (Slika preuzeta iz <http://de.wikipedia.org/wiki/Belousov-Zhabotinsky-Reaction>.)

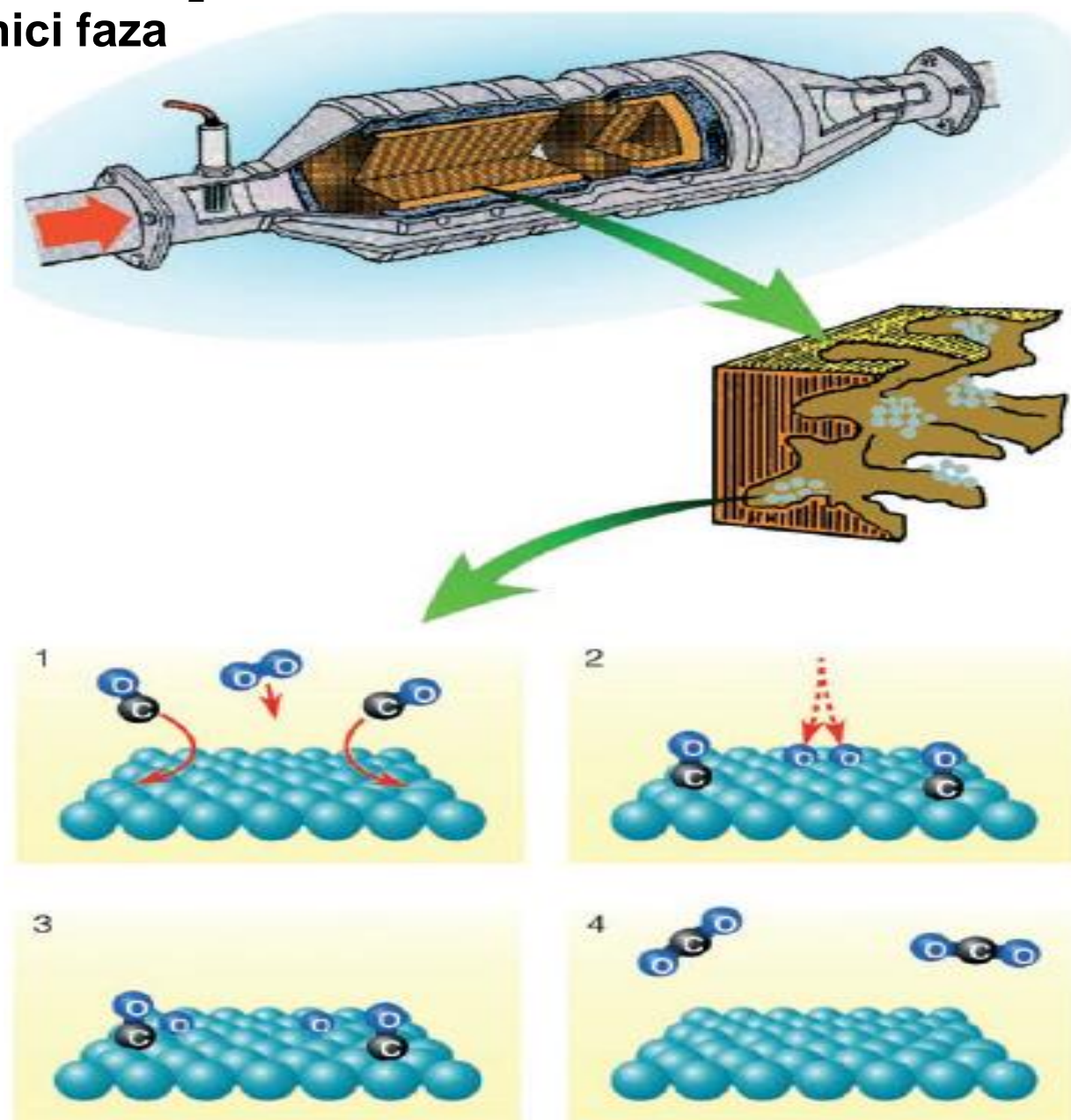
U hemiji I fizičkoj hemiji

1. Razlaganje malonske kiseline katalizovano bromatnim i metalnim jonica (Belousov-Zhabotinsky oscilatorna reakcija)



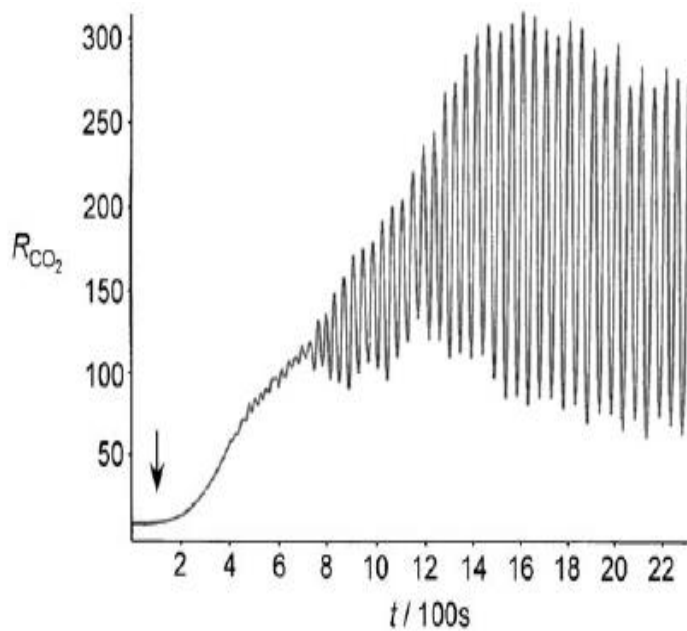
2. Katalitička oksidacija CO do CO₂ na površini platine i formiranje složenih struktura na granici faza

Prof. dr Gerhard Ertl,
dobjitnik Nobelove nagrade
za hemiju 2007. godine,
posvetio je
svoj naučni rad ispitivanju
tipičnih fizičkohemijskih
reakcionih sistema,
konkretno,
**kompleksnih procesa i
samoorganizacionih pojava
na površini čvrstih tela.**

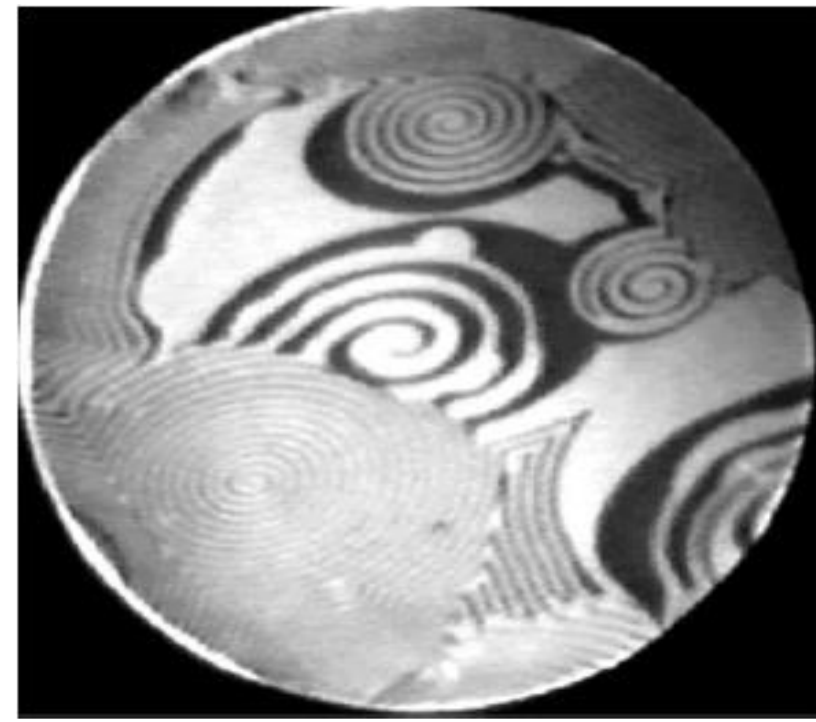


Grafički prikaz procesa koji se dešava na katalizatoru u automobilu i prikaz načina na koji se odvija oksidacija CO.

Katalitička oksidacija CO do CO₂ na površini platine i formiranje složenih struktura na granici faza. (Eksperimentalna ispitivanja)



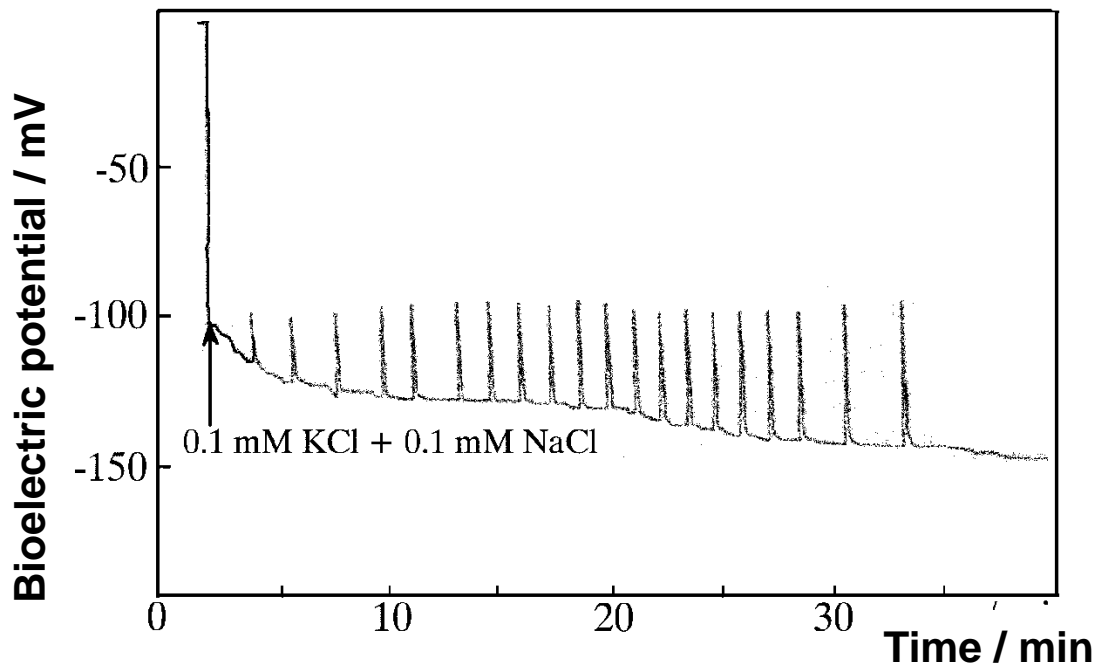
Oscilatorna promena brzine formiranja CO₂ na Pt (110) u toku vremena.
T = 470 K; p_{CO} = 3 · 10⁻⁵ mbar.
Strelica označava trenutak brze promene parcijalnog pritiska kiseonika.



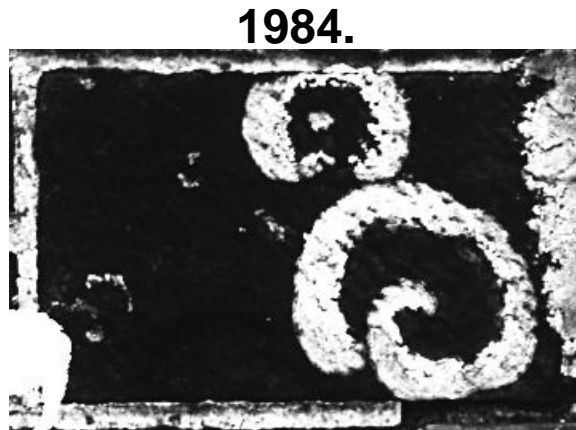
Putujući spiralni talasi snimljeni tehnikom fotoemisione elektronske spektroskopije (PEEM);
T = 448 K; p_{CO} = 4,3 · 10⁻⁵ mbar;
p_{kiseonika} = 4 · 10⁻⁴ mbar.
Dijametar slike je 500 μm.

U biologiji

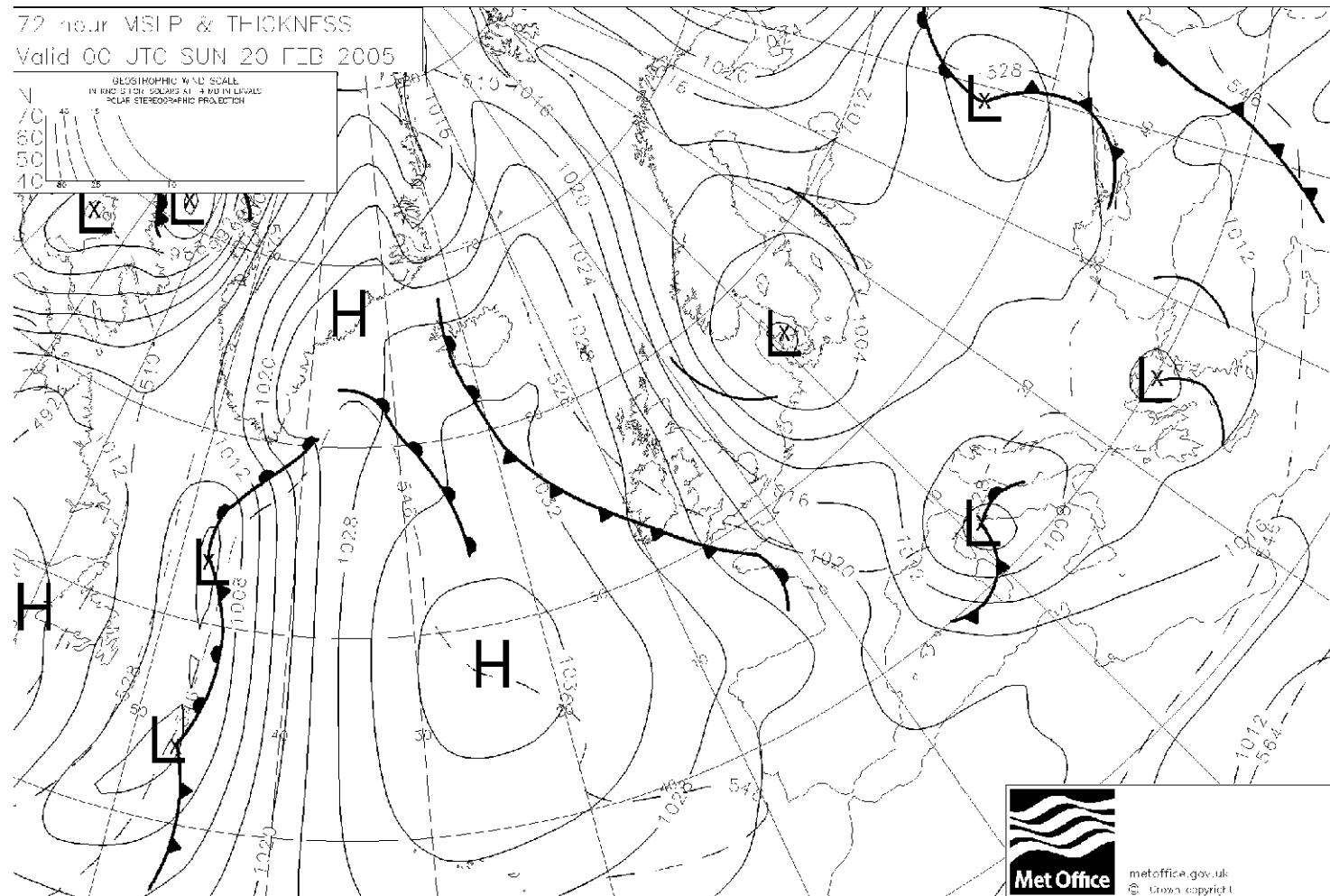
Oscilatorna evolucija
bioelektričnog potencijala
citoplazme ćelije slatkovodne
alge *Nittella mucronata*



Rasprostiranje (širenje)
kolonije lišajeva



U Klimatologiji (Meteorologiji)



Najinteresantnije

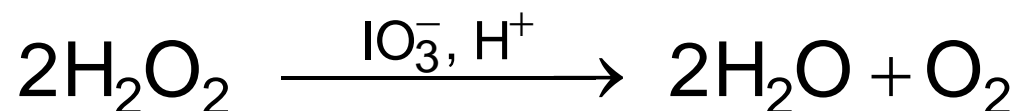
dinamičke strukture u vremenu

kao što su

multistabilnost, prosto oscilatorno dinamičko stanje, oscilacije mešanih modova i haos,

posmatraćemo malo detaljnije na

**reakciji razlaganja vodonikperoksida
u prisustvu jodatnog i vodoničnog jona,**



poznatoj pod nazivom

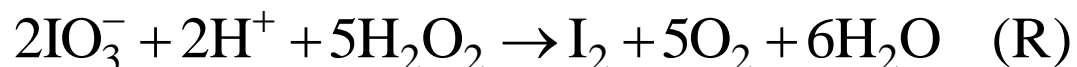
Bray-Liebhafsky (BL) oscilatorna reakcija.

Zašto analiziramo Bray-Liebhafsky reakciju?

To je **nelinearna reakcija sa povratnom spregom**,
naizgled **veoma jednostavna, ali složena**,
mada ne tako složena kao što je to bilo koja biohemijska reakcija.

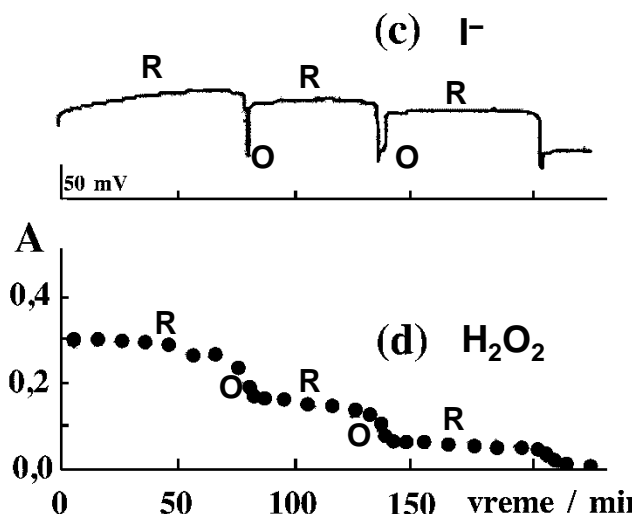
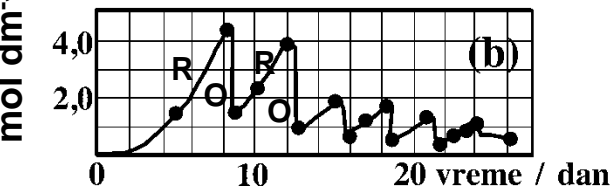
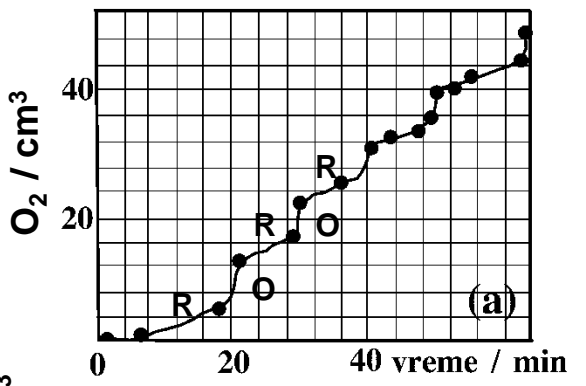
U ovoj **složenoj homogenoj katalitičkoj reakciji** (ili, bolje, procesu) učestvuju brojni intermedijeri kao što su I_2 , I^- , HIO , HIO_2 i drugi.

Globalna reakcija (D) je rezultat redukcije (R) jodata do joda i oksidacije (O) joda do jodata po složenoj reakcionoj šemi:



Ako je $v_R = v_O$, \Rightarrow **monotonno** razlaganje.

Ako je periodično $v_R > v_O$ i $v_R < v_O$, \Rightarrow **oscilatorno** razlaganje.

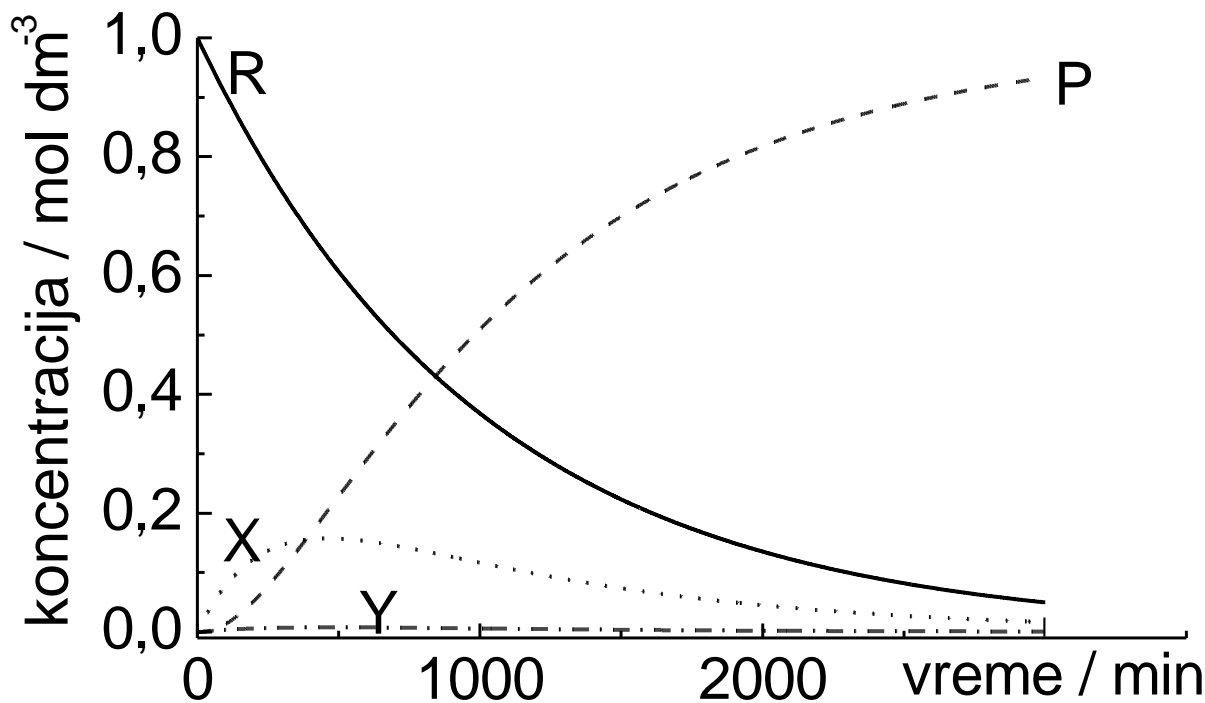
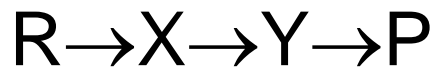


References:

(a) and (b): Bray, W. C.
J. Am. Chem. Soc. **1921**, *43*, 1262.

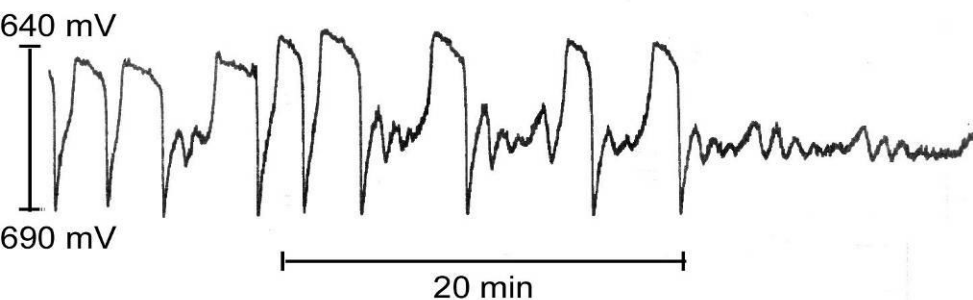
(c) and (d): Ćirić, J.; Anić, S.; Čupić, Ž.; Kolar-Anić, Lj.
Science of Sintering **2000**, *32*, 187.

Monotona evolucija koncentracije reaktanta R, produkta P i intermedijera X i Y u slučaju reakcije

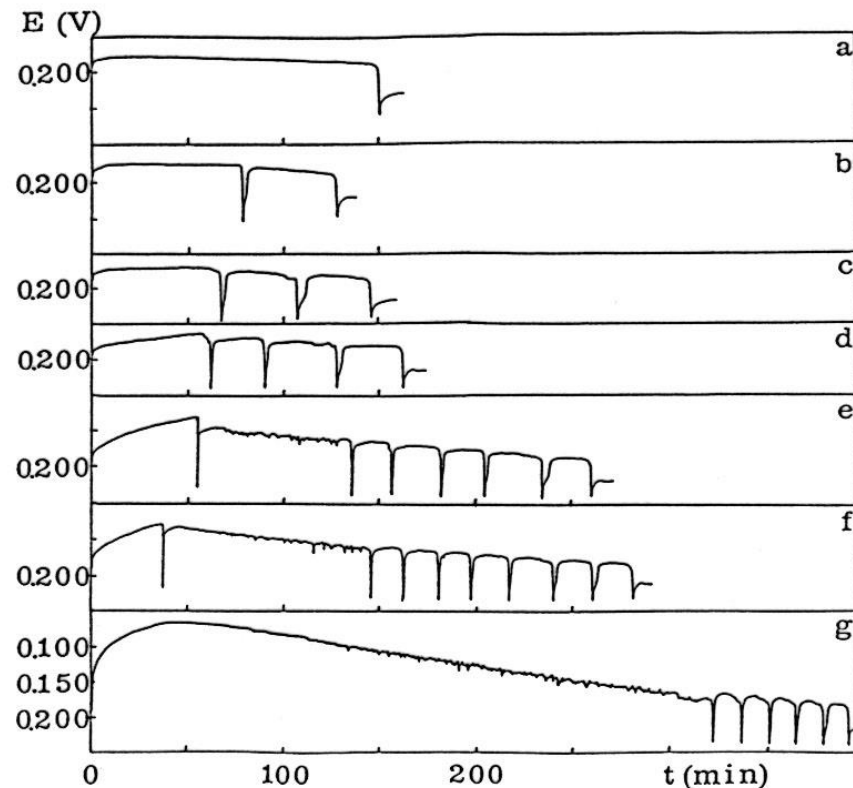


Eksperimentalna ispitivanja

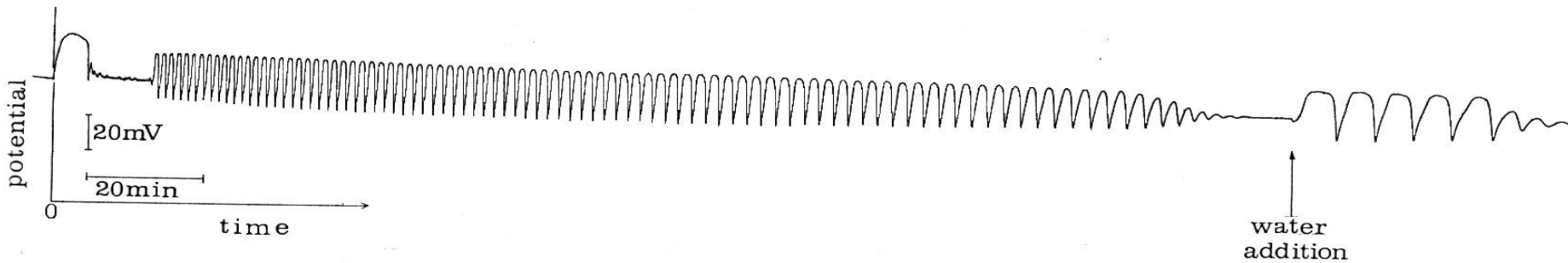
Vremenska evolucija
BL reakcionog sistema
generisana u
dobro mešajućem zatvorenom reaktoru.



Anić, S. Nepublikovani eksperimentalni rezultati



Anić, S.; Kolar-Anić, Lj.
Ber Bunsenges Phys. Chem. **1986**, *90*, 1084.



Anić, S.; Mitić, D. *J. Serb. Chem. Soc.* **1988**, *53*, 371.

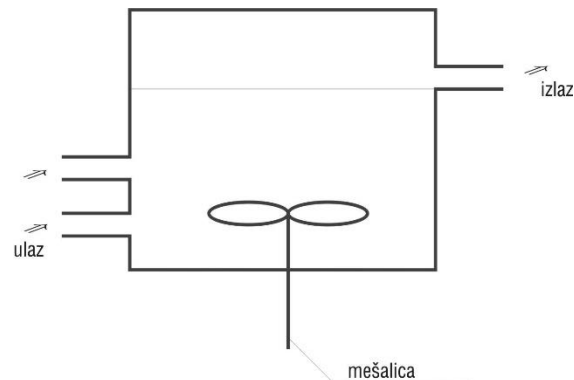
S.Anić, Lj.Kolar-Anić, D.Stanisavljev, N.Begović, D.Mitić, *React.Kinet.Catal.Lett.*, **43**, 155-162 (1991).

Eksperimentalna istraživanja

se izvode u

zatvorenom i otvorenom
reaktoru

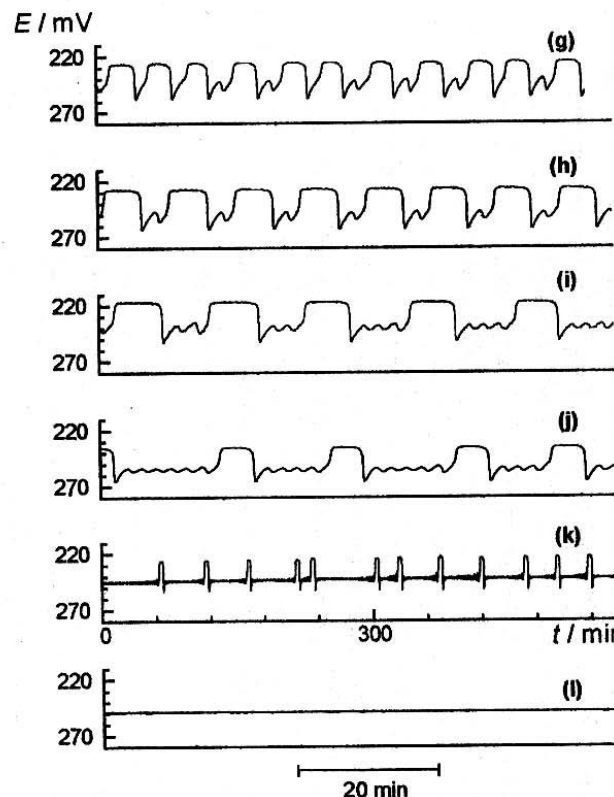
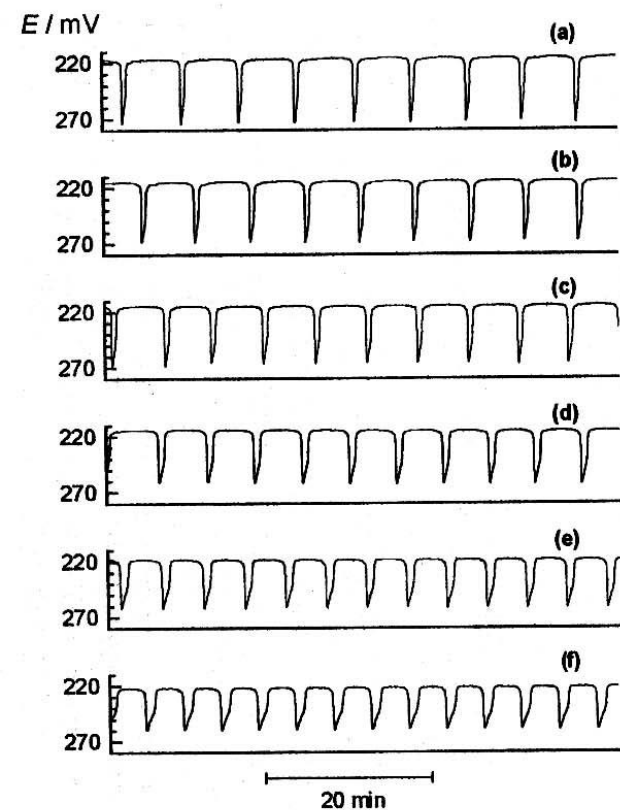
Eksperimentalna istraživanja
u zatvorenom reaktoru
smo upravo videli.



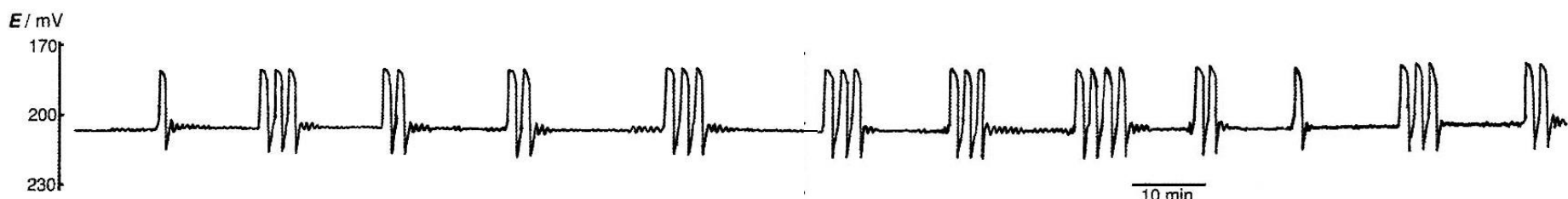
Šema otvorenog ili protočnog
reaktora sa mešalicom.

Eksperimentalna ispitivanja

Vremenska evolucija BL reakcije u dobro mešajućem **otvorenom** reaktoru.

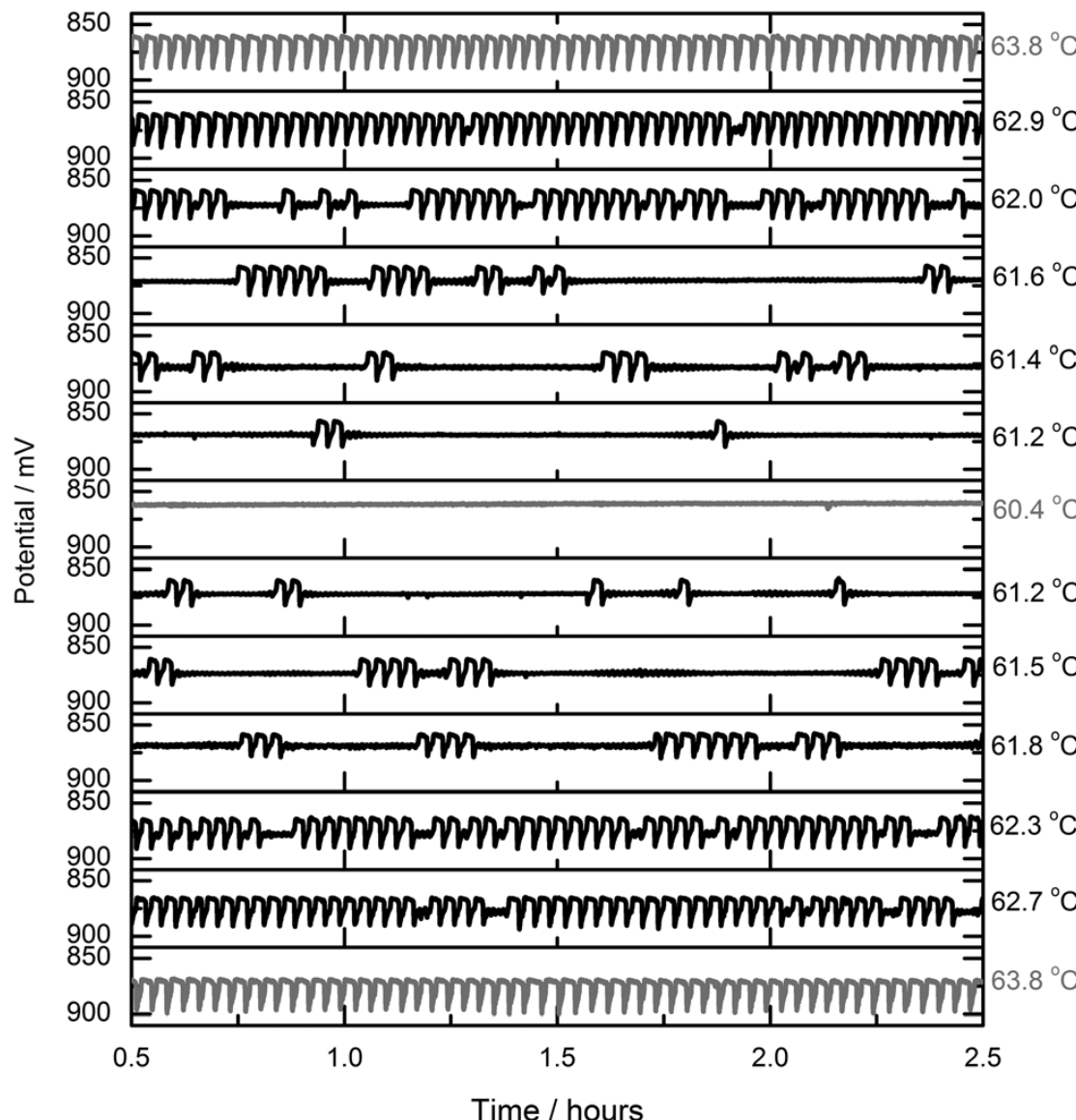


- (a) 60.0 °C
- (b) 58.8 °C
- (c) 57.5 °C
- (d) 55.6 °C
- (e) 54.4 °C
- (f) 52.8 °C
- (g) 50.3 °C
- (h) 49.8 °C
- (i) 49.3 °C
- (j) 48.8 °C
- (k) 47.8 °C
- (l) 47.6 °C



Eksperimentalna ispitivanja

Intermitentna dinamička stanja BL reakcije u dobro-mešajućem **otvorenom** reaktoru



Metode ispitivanja dinamike složenih reakcionih sistema

Ljiljana Kolar-Anić i Željko Čupić

Sadržaj

I predavanje (Ljiljana Kolar-Anić)

1. Složeni reakcioni sistemi

(Linearni i nelinearni reakcioni sistemi, Nelinearni reakcioni sistemi sa povratnom spregom)

2. Dinamičke strukture složenih reakcionih sistema i samoorganizacija neravnotežnih sistema

3. Modeliranje složenih reakcionih sistema

II predavanje (Željko Čupić)

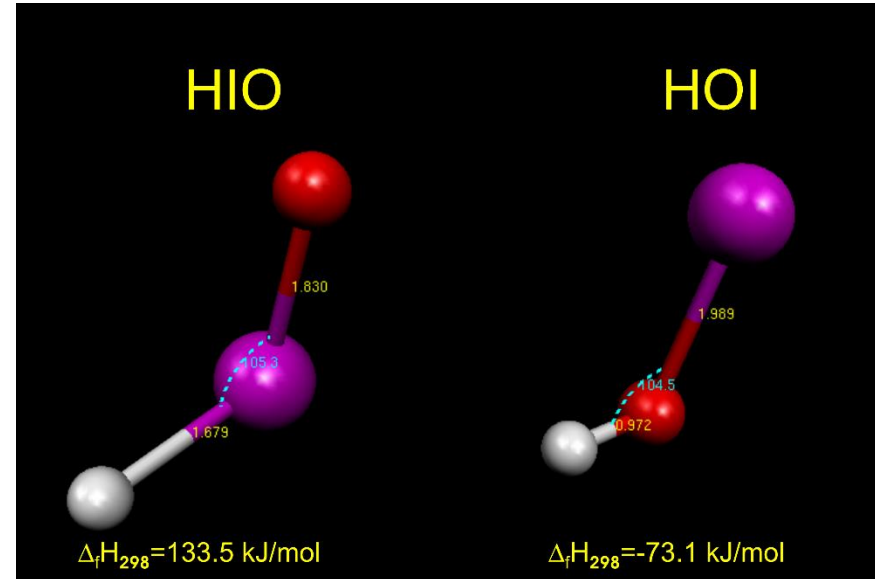
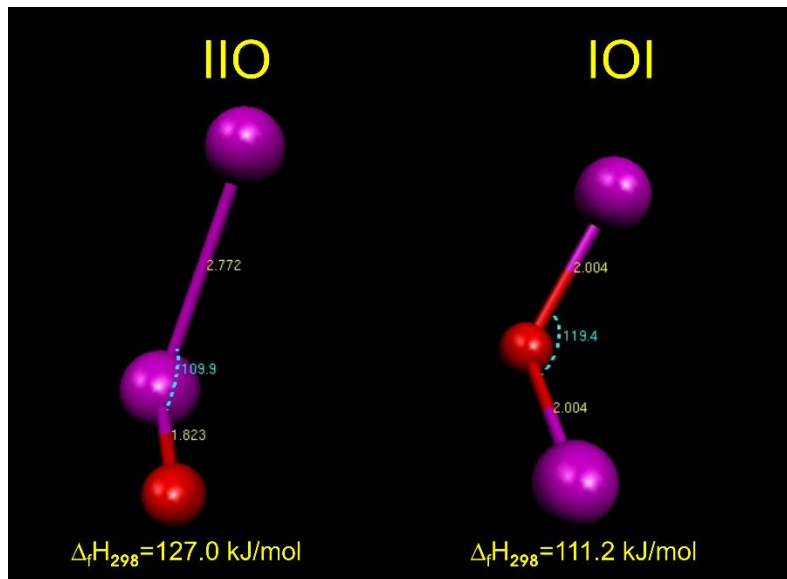
Ako želimo da objasnimo različita dinamička stanja složenih sistema, a i da predvidimo njihovo ponašanje, treba da postuliramo

model mehanizma.

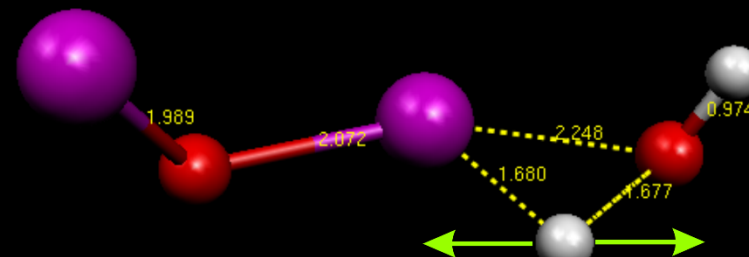
U tu svrhu,
pored eksperimentalnih ispitivanja,
mi vršimo i različita teorijska izračunavanja
zajedno sa numeričkim simulacijama.

Teorijska proučavanja

(Kvantna hemija, Statistička termodinamika, Hemijska reaktivnost)



First transition state of reaction
 $\text{IOI} + \text{HOH} \rightarrow \text{IOIHOH} \rightarrow 2 \text{ HOI}$



Begović, N.; Marković, Z.; Anić, S.; Kolar-Anić, Lj.

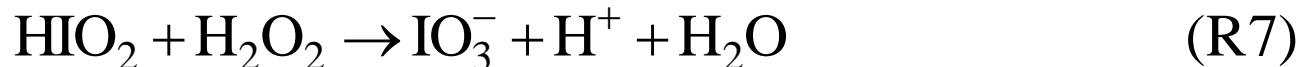
J. Phys. Chem. A **2004**, 108, 651.

Begović, N.; Marković, Z.
In Selforganization in Nonequilibrium Systems,
Eds. Anić, S.; Čupić, Ž.; Kolar-Anić, Lj.
SPCS, Belgrade 2004, p. 215.

Teorijska proučavanja

(Analiza stehiometrijskih mreža, Analiza stabilnosti i osetljivosti)

Model mehanizma Bray-Liebhafsky reakcije



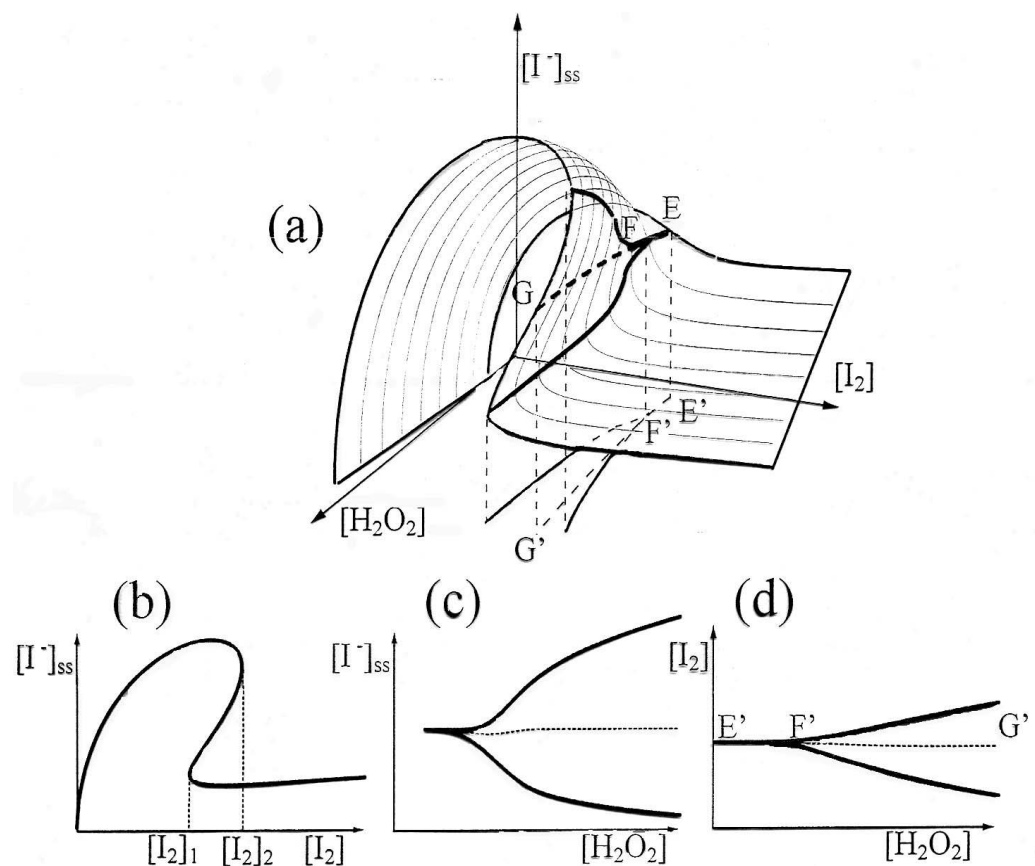
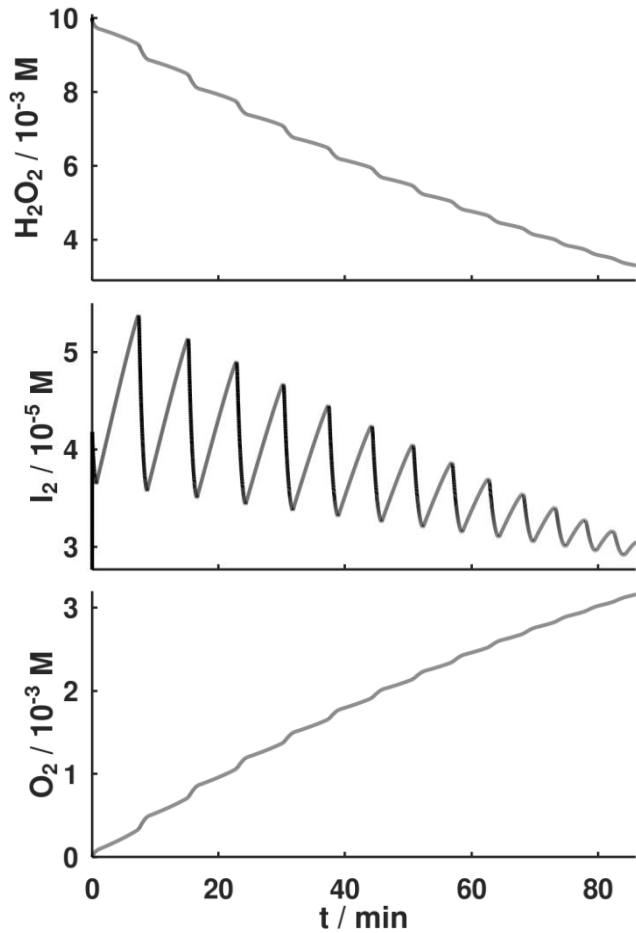
Schmitz, G.; *J. Chim. Phys.* **1987**, 84, 957.

Kolar-Anić, Lj.; Schmitz, G. *J. Chem. Soc. Faraday Trans.* **1992**, 88, 2343.

Kolar-Anić, Lj.; Mišljenović, Đ.; Anić, S.; Nicolis, G. *React. Kinet. Catal. Lett.* **1995**, 54, 35.

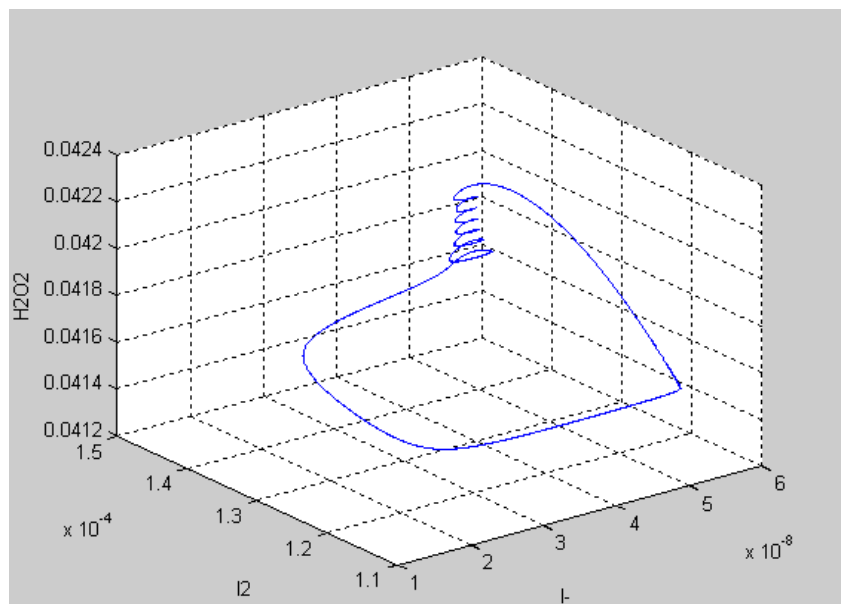
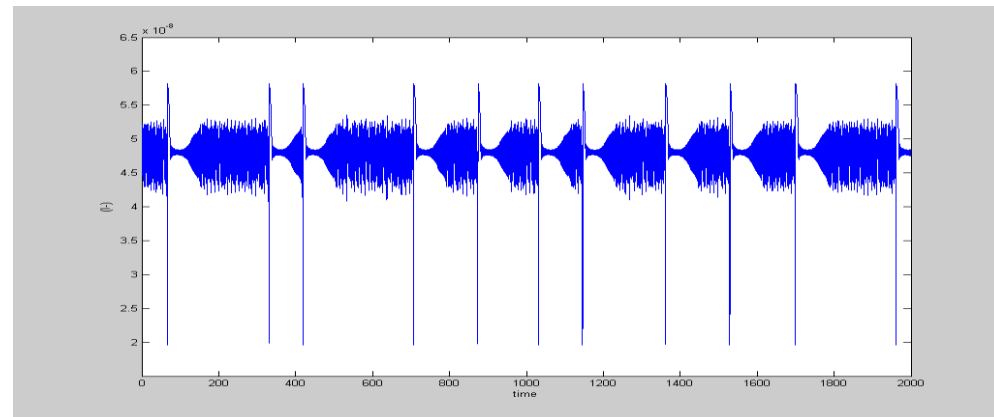
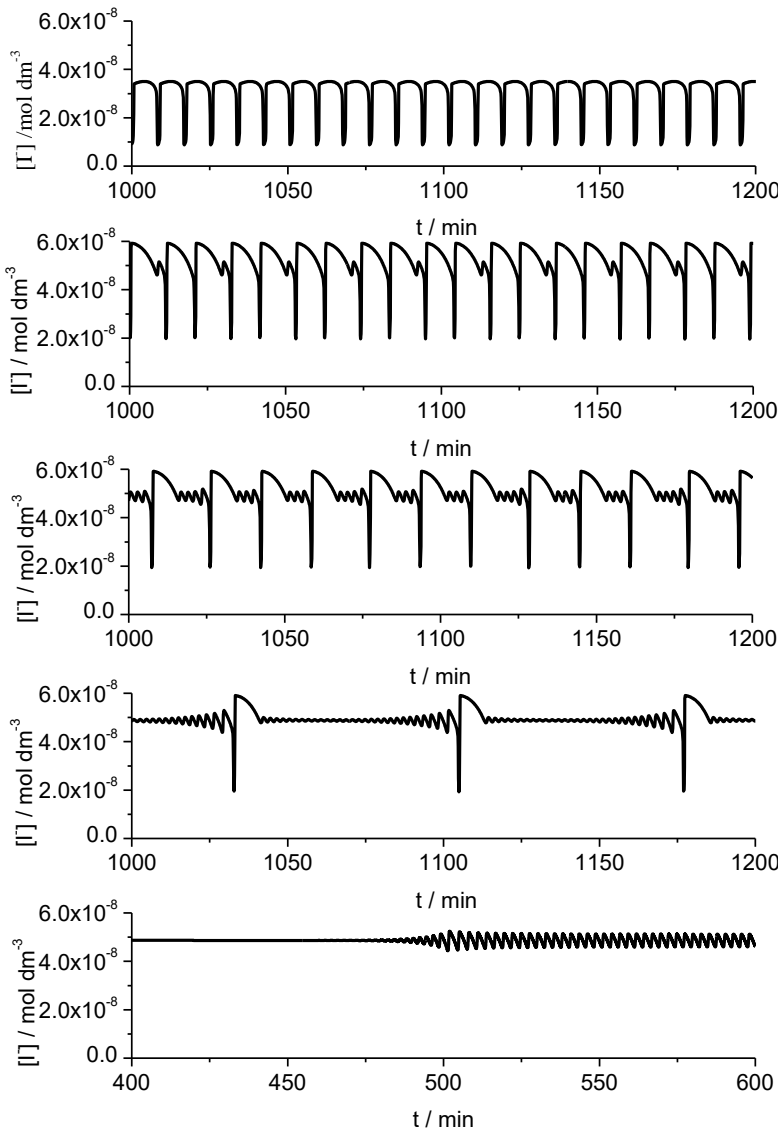
Numeričke simulacije

BL reakcije u zatvorenom reakcionom sistemu

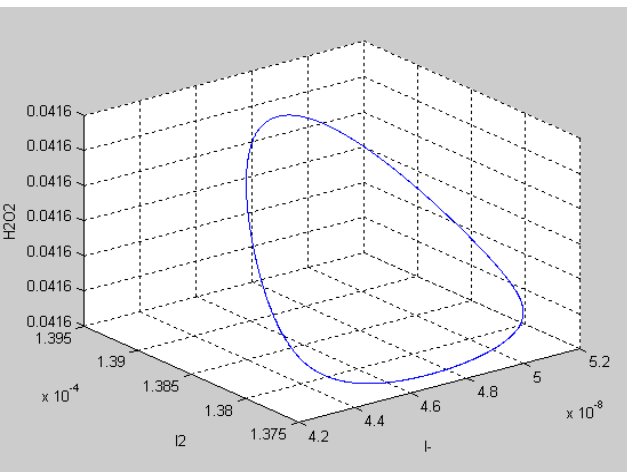


Numeričke simulacije

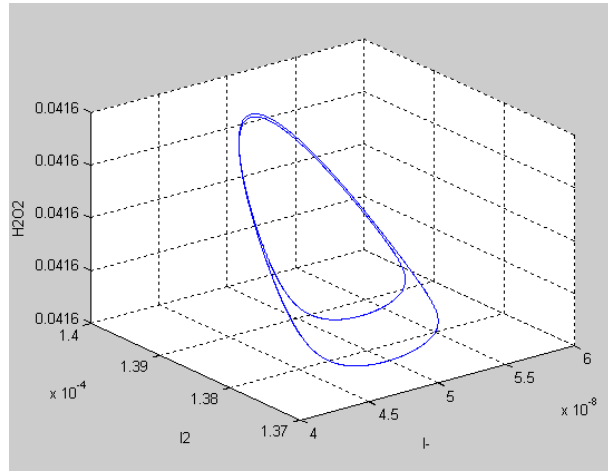
BL reakcije u otvorenom reakcionom sistemu



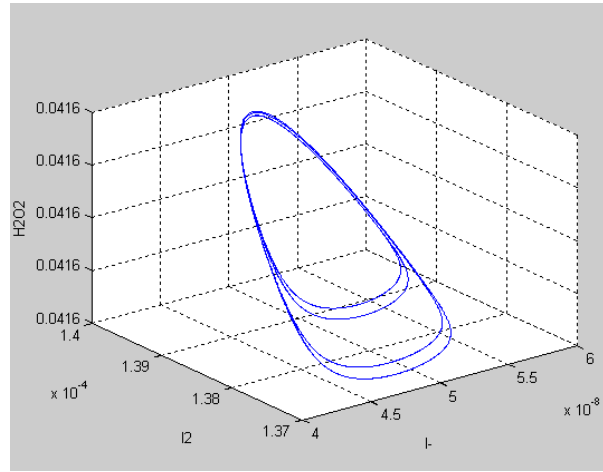
Put u haos preko udvajanja perioda



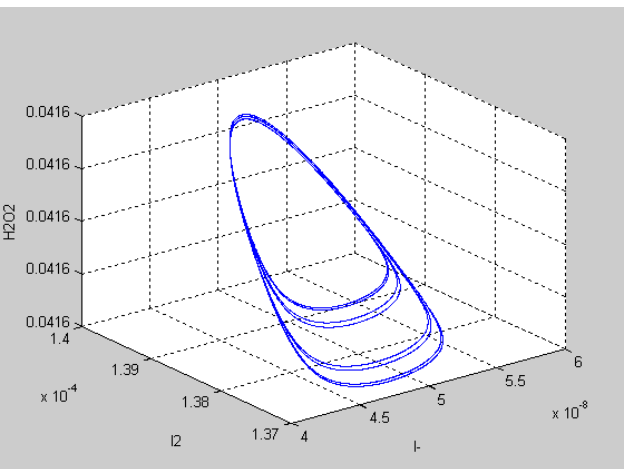
$$j_0 = 5.085 \times 10^{-3} \text{ min}^{-1}$$



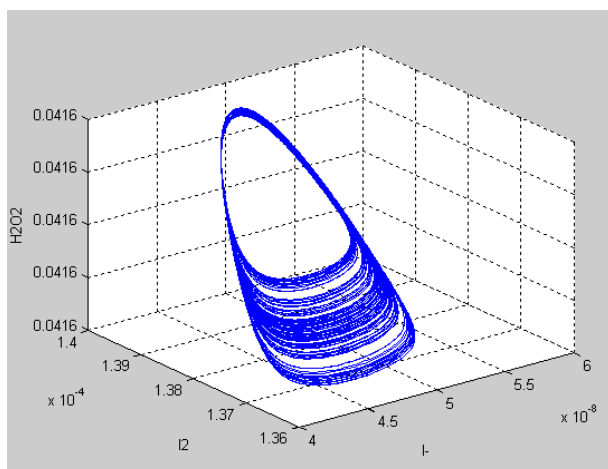
$$j_0 = 5.082 \times 10^{-3} \text{ min}^{-1}$$



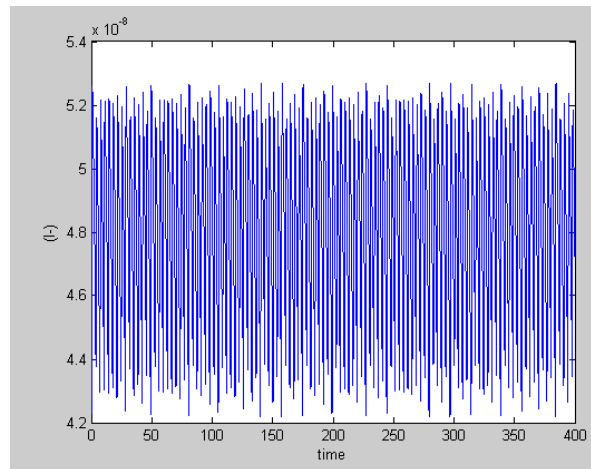
$$j_0 = 5.0818 \times 10^{-3} \text{ min}^{-1}$$

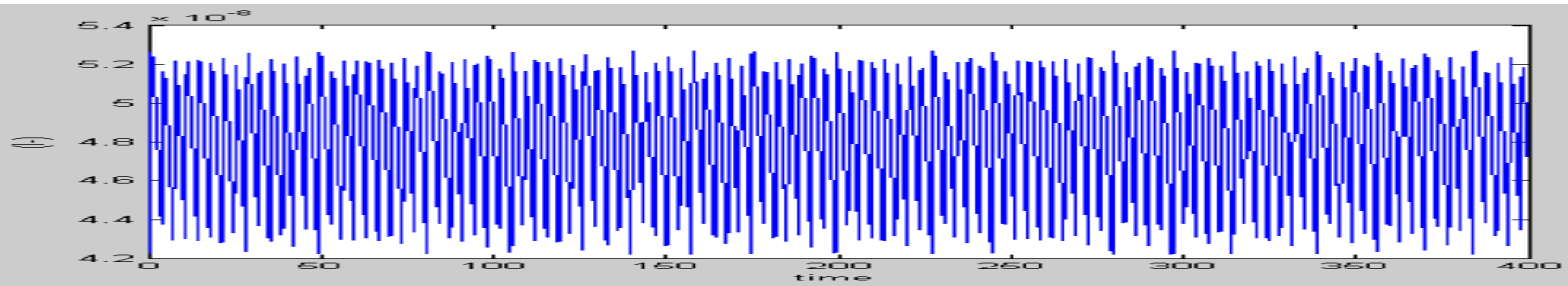


$$j_0 = 5.08175 \times 10^{-3} \text{ min}^{-1}$$

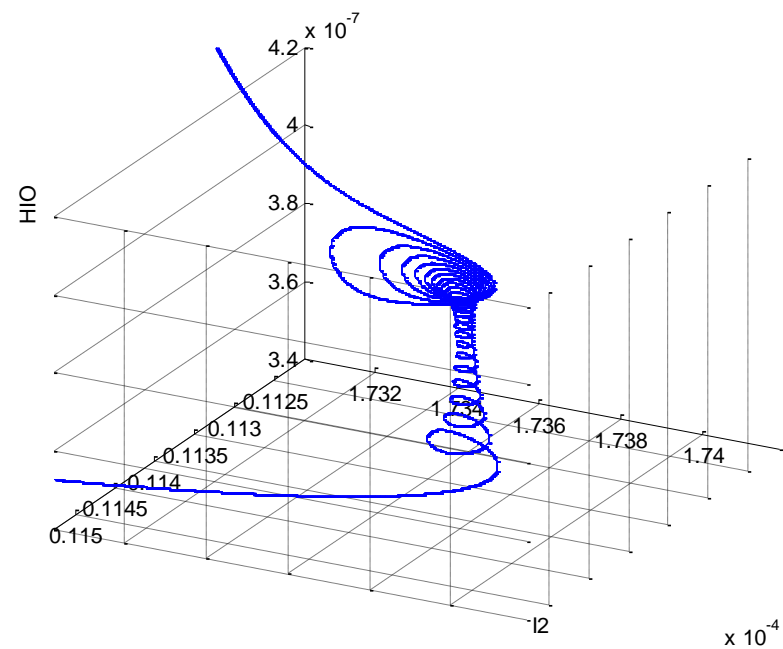
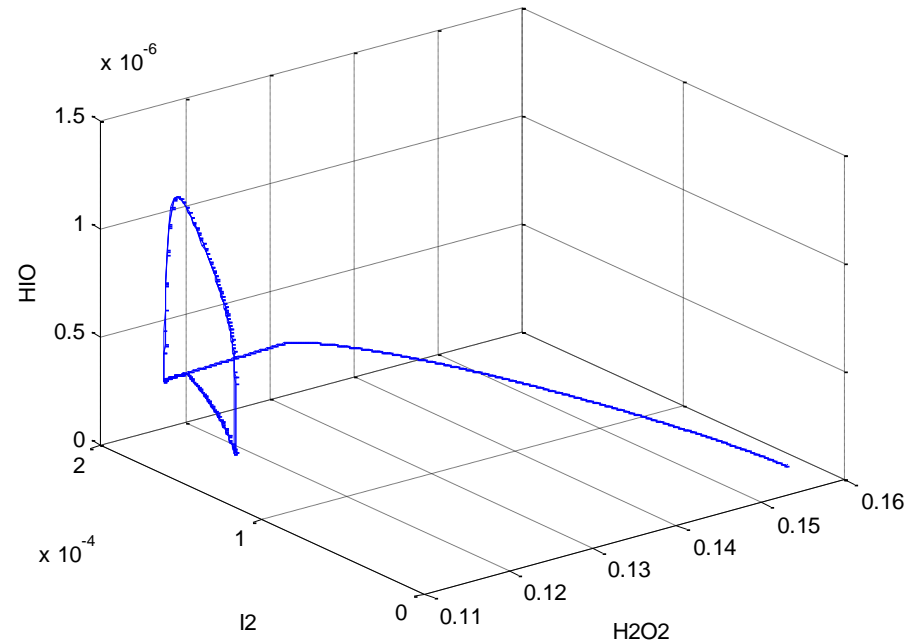
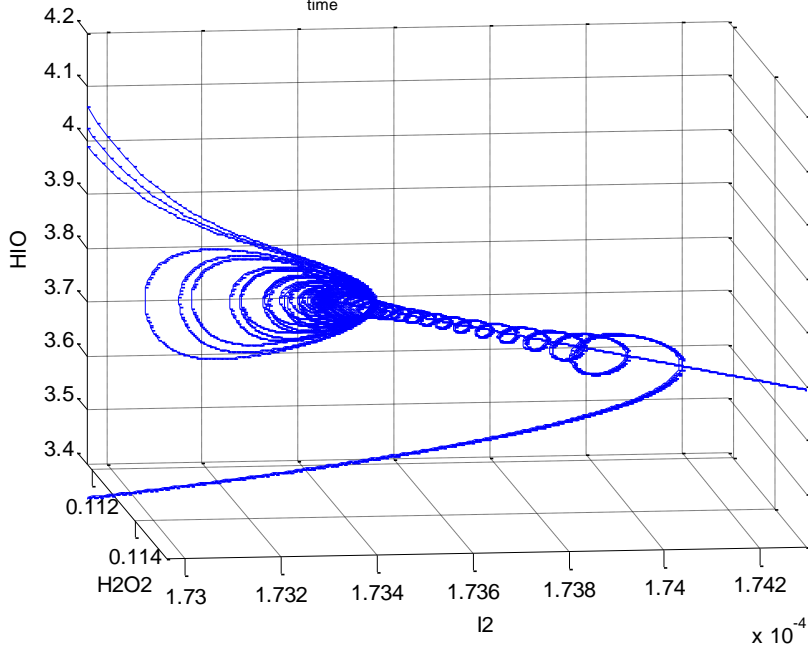
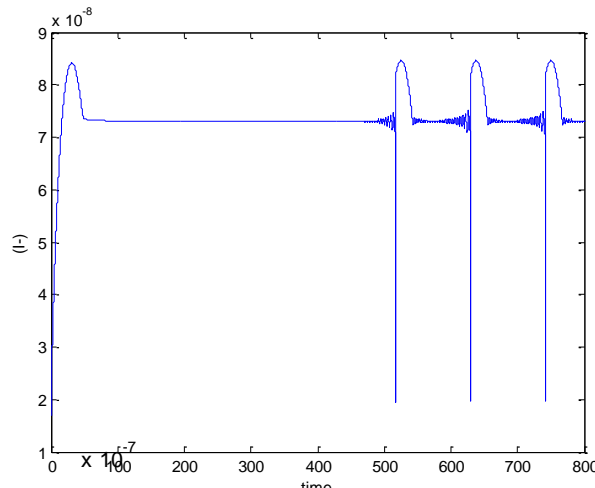


$$j_0 = 5.0816 \times 10^{-3} \text{ min}^{-1} \text{ (haos)}$$





Slučaj 1²³



Effect of Diffusion on Steady State Stability of an Oscillatory Reaction Model

Table 1. A set of reactions representing the studied model.

Reactions	Reaction rates	
$W_1 + C_1 \xrightleftharpoons{k_1, k_{-1}} C_2 + C_3$	$r_1 = k_1 w_{1,0} c_1$ $r_{-1} = k_{-1} c_2 c_3$	(R ₁) (R ₋₁)
$C_1 + C_3 \xrightarrow{k_2} C_4$	$r_2 = k_2 c_1 c_3$	(R ₂)
$C_4 \xrightleftharpoons{k_3, k_{-3}} 2C_2$	$r_3 = k_3 c_4$ $r_{-3} = k_{-3} c_2^2$	(R ₃) (R ₋₃)
$W_2 + C_2 \xrightarrow{k_4} C_1$	$r_4 = k_4 w_{2,0} c_2$	(R ₄)
$W_2 + C_4 \xrightarrow{k_5} C_2 + C_3$	$r_5 = k_5 w_{2,0} c_4$	(R ₅)

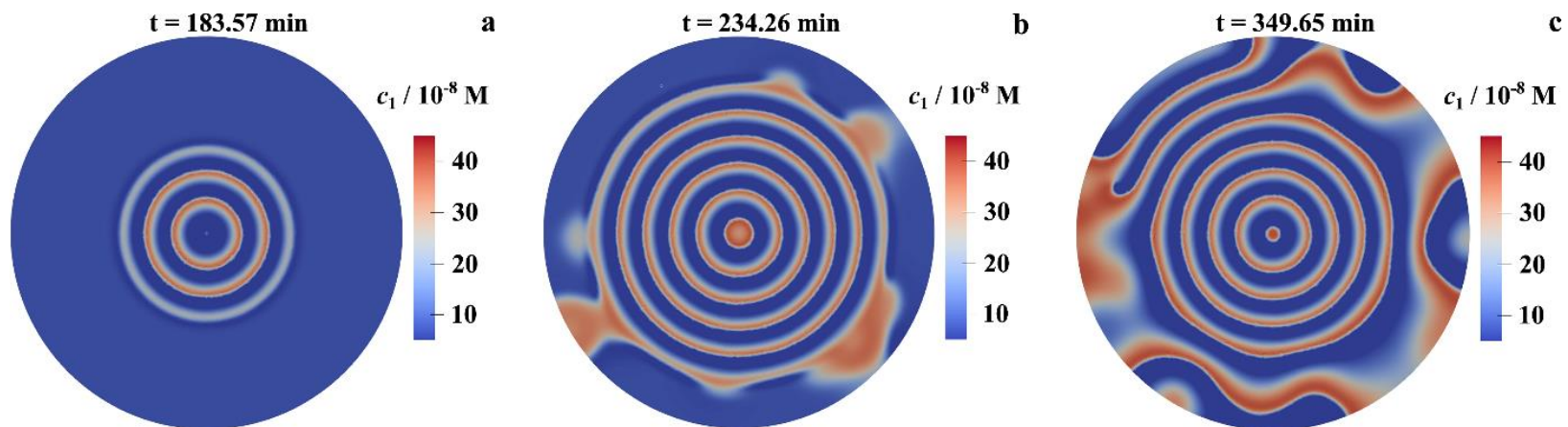


$$\frac{dc_1}{dt} = D_1 \nabla^2 c_1 - r_1 + r_{-1} - r_2 + r_4$$

$$\frac{dc_2}{dt} = D_2 \nabla^2 c_2 + r_1 - r_{-1} + 2r_3 - 2r_{-3} - r_4 + r_5$$

$$\frac{dc_3}{dt} = D_3 \nabla^2 c_3 + r_1 - r_{-1} - r_2 + r_5$$

$$\frac{dc_4}{dt} = D_4 \nabla^2 c_4 + r_2 - r_3 + r_{-3} - r_5$$



**Ako znamo da modeliramo Bray-Liebhafsky reakciju
ili bilo koju drugu oscilatornu reakciju,
mi možemo modelirati i druge kompleksne reakcione sisteme
i predvideti samoorganizacione pojave u njima.**

Zašto modeliramo složene reakcione sisteme?

I

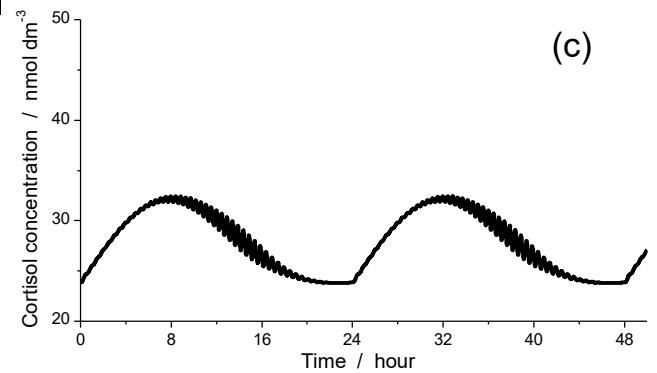
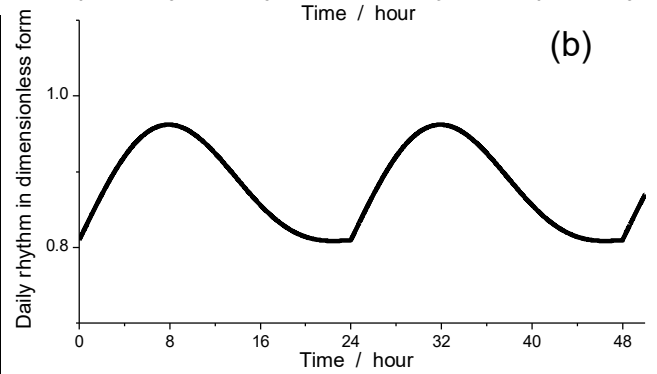
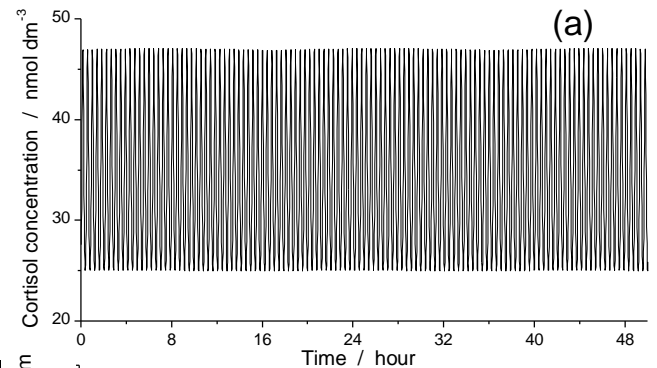
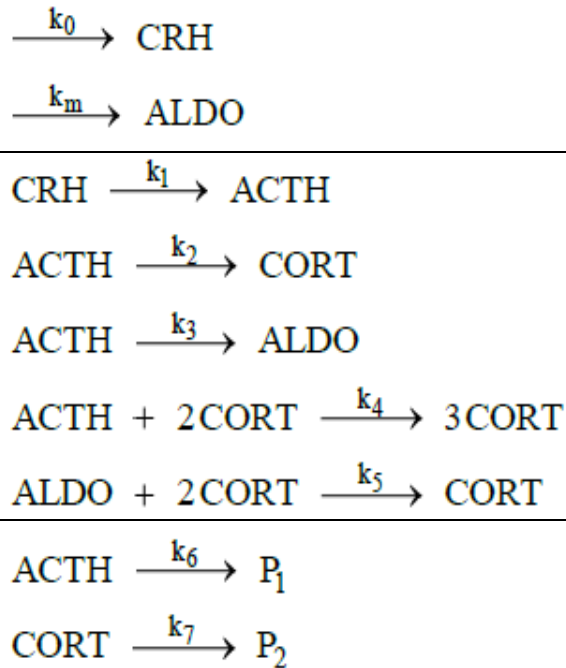
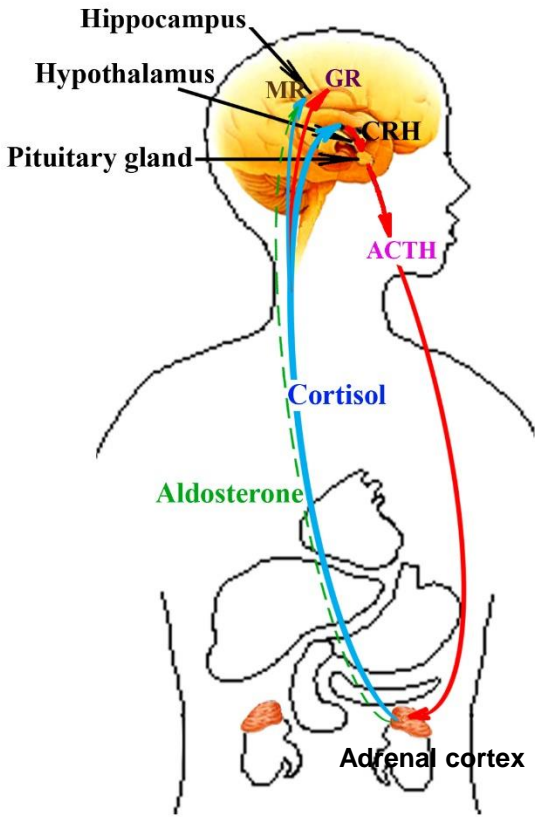
**Modeliranjem je moguće predvideti ponašanje sistema i
nastajanje različitih dinamičkih struktura.**

II

Modeliranje

je jedan od načina ispitivanja mehanizma složenog procesa.

Primer: Modeliranje jednog biohemijskog procesa: Oscilatorna evolucija kortizola u neuroendokrinom sistemu



CRH = kortikotropni oslobođajući hormon

ACTH = adrenokortikotropin

CORT = kortizol (Glukokortikoidni hormon)

ALDO = aldosteron (Mineralokortikoidni hormon)

P₁ i **P₂** su produkti

THEORETICAL AND NUMERICAL ANALYSIS OF THE NOISE INDUCED KINETICS

Stochastic Monte Carlo simulation of the CO oxidation on Pt
- TSM model -

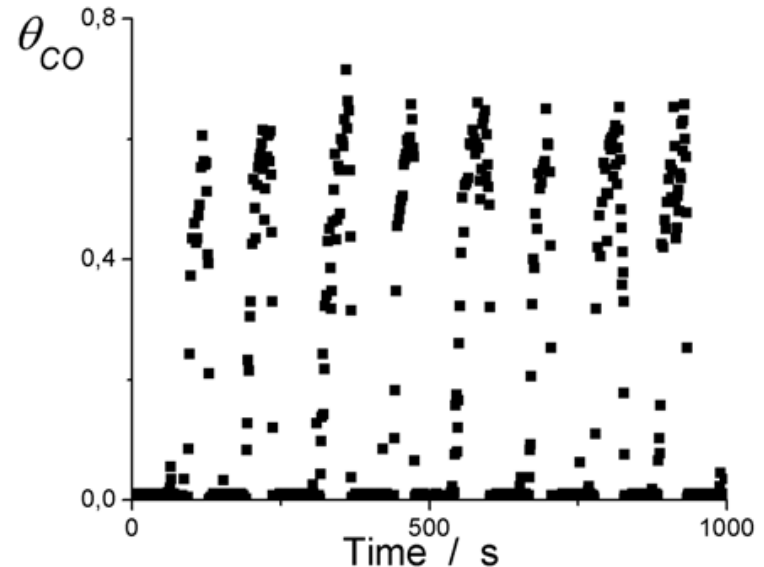
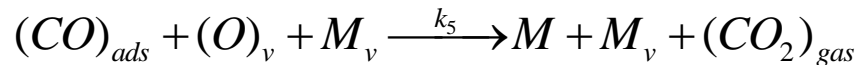
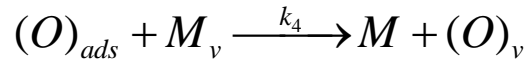
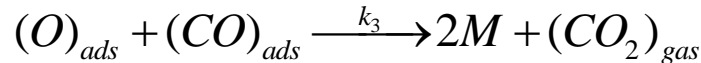
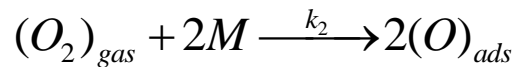


Fig.1. Results of the MC simulation for $k1 = 107 \text{ s}^{-1} \text{ Torr}^{-1}$,
 $PCO = 10^{-7} \text{ Torr}$, $k_{-1} = 0.2 \text{ s}^{-1}$, $k2PO2 = 0.5 \text{ s}^{-1}$, $k3 = 105 \text{ s}^{-1}$,
 $k4 = 0.03 \text{ s}^{-1}$, $k5 = 0.02 \text{ s}^{-1}$.

Mnogo više o ispitivanju dinamike složenih reakcionih sistema,
može se naći u knjizi:

Ljiljana Kolar-Anić, Željko Čupić, Vladana Vukojević, Slobodan Anić

Dinamika nelinearnih procesa

(Fakultet za fizičku hemiju, Univerzitet u Beogradu, Beograd 2011)

Apstrakte slati na adresu zcupic@msn.com

Hvala na pažnji.